



(12) 发明专利申请

(10) 申请公布号 CN 104853766 A

(43) 申请公布日 2015. 08. 19

(21) 申请号 201380063036. 8

C07K 14/35(2006. 01)

(22) 申请日 2013. 10. 02

C12N 15/85(2006. 01)

(30) 优先权数据

61/709, 072 2012. 10. 02 US

(85) PCT国际申请进入国家阶段日

2015. 06. 02

(86) PCT国际申请的申请数据

PCT/US2013/063097 2013. 10. 02

(87) PCT国际申请的公布数据

W02014/055668 EN 2014. 04. 10

(71) 申请人 纪念斯隆 - 凯特琳癌症中心

地址 美国纽约州

(72) 发明人 C·C·克洛斯 M·塞德莱恩

(74) 专利代理机构 北京尚诚知识产权代理有限公司

公司 11322

代理人 龙淳

(51) Int. Cl.

A61K 39/00(2006. 01)

权利要求书4页 说明书31页

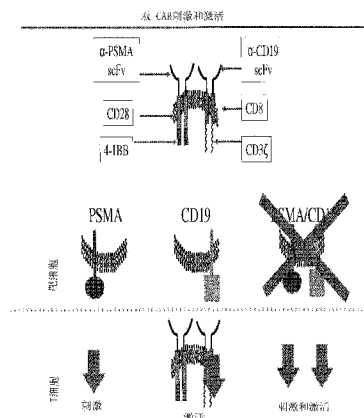
序列表21页 附图12页

(54) 发明名称

用于免疫疗法的组合物和方法

(57) 摘要

本发明提供免疫应答细胞, 包括 T 细胞、细胞毒性 T 细胞、调节性 T 细胞、以及自然杀伤 (NK) 细胞, 其表达至少一种抗原识别受体和一种嵌合共刺激受体。使用所述免疫应答细胞的方法包括用于治疗其中需要增加的抗原特异性免疫应答的瘤形成和其它病理学的那些。



1. 一种免疫应答细胞,包括:
 - a. 以低亲和力结合第一抗原的抗原识别受体,其中所述受体与所述第一抗原的结合激活所述免疫应答细胞,以及
 - b. 结合第二抗原并刺激所述免疫应答细胞的嵌合共刺激受体 (CCR)。
2. 根据权利要求 1 所述的免疫应答细胞,其中所述细胞选自 T 细胞、自然杀伤 (NK) 细胞、细胞毒性 T 淋巴细胞 (CTL)、调节性 T 细胞、人类胚胎干细胞和从中能分化出淋巴样细胞的多能干细胞。
3. 根据权利要求 1 或 2 所述的免疫应答细胞,其中所述抗原是肿瘤或病原体抗原。
4. 根据权利要求 1-3 中任一项所述的免疫应答细胞,其中所述抗原识别受体是 T 细胞受体 (TCR) 或嵌合抗原受体 (CAR)。
5. 根据权利要求 1-4 中任一项所述的免疫应答细胞,其中所述抗原识别受体是外源或内源的。
6. 根据权利要求 1-5 中任一项所述的免疫应答细胞,其中所述抗原识别受体经重组表达。
7. 根据权利要求 1-6 中任一项所述的免疫应答细胞,其中所述抗原识别受体从载体中表达。
8. 根据权利要求 1-7 中任一项所述的免疫应答细胞,其中所述嵌合共刺激受体 (CCR) 从载体中表达。
9. 根据权利要求 1-8 中任一项所述的免疫应答细胞,其中所述免疫应答细胞是自体的。
10. 根据权利要求 1-9 中任一项所述的免疫应答细胞,其中所述第一和第二抗原选自 CAIX、CEA、CD5、CD7、CD10、CD19、CD20、CD22、CD30、CD33、CD34、CD38、CD41、CD44、CD49f、CD56、CD74、CD133、CD138、巨细胞病毒 (CMV) 感染细胞抗原、EGP-2、EGP-40、EpCAM、erb-B2, 3, 4、FBP、胎儿型乙酰胆碱受体、叶酸受体 -a、GD2、GD3、HER-2、hTERT、IL-13R-a2、x- 轻链、KDR、LeY、L1 细胞黏附分子、MAGE-A1、MUC1、间皮素、NKG2D 配体、NY-ESO-1、癌胚抗原 (h5T4)、PSCA、PSMA、ROR1、TAG-72、VEGF-R2 或 WT-1。
11. 根据权利要求 1-9 中任一项所述的免疫应答细胞,其中所述第一和第二抗原是选自 CD133、巨细胞病毒 (CMV) 感染细胞抗原、erb-B2、KDR、间皮素、NKG2D 配体、NY-ESO-1、癌胚抗原 (h5T4)、PSCA、PSMA、CD19、VEGF-R2 和 WT-1 的不同的抗原。
12. 根据权利要求 1-9 中任一项所述的免疫应答细胞,其中所述第一和第二抗原选自 HER2、MUC1、CD44、CD49f、EpCAM、CEA、CD133、巨细胞病毒 (CMV) 感染细胞抗原、EGP-2、EGP-40、EpCAM、erb-B2, 3, 4、FBP、KDR、间皮素、NKG2D 配体、NY-ESO-1、癌胚抗原 (h5T4)、PSCA、PSMA、VEGF-R2 或 WT-1。
13. 根据权利要求 1-11 中任一项所述的免疫应答细胞,其中所述第一和第二抗原是 CD10 和 CD19。
14. 根据权利要求 1-11 中任一项所述的免疫应答细胞,其中所述第一和第二抗原是 CD56 和 CD138。
15. 根据权利要求 1-11 中任一项所述的免疫应答细胞,其中所述第一和第二抗原是选自间皮素、叶酸受体 -a、CD44 和 CD133 的不同的抗原。

16. 根据权利要求 1-15 中任一项所述的免疫应答细胞,其中所述抗原识别受体的细胞内信号转导域是 CD3 链信号转导域。

17. 根据权利要求 1-16 中任一项所述的免疫应答细胞,其中所述嵌合共刺激受体 (CCR) 的细胞内信号转导域是 CD97、CD11a-CD18、CD2、ICOS、CD27、CD154、CD5、OX40、4-1BB 或 CD28 信号转导域。

18. 根据权利要求 1-17 中任一项所述的免疫应答细胞,其中所述细胞表达抗原受体 19z1 或 Pz1。

19. 一种诱导肿瘤中的肿瘤细胞死亡的方法,所述方法包括将所述肿瘤细胞与免疫应答细胞接触,所述免疫应答细胞包括以低亲和力结合第一肿瘤抗原的抗原识别受体,其中所述结合激活所述免疫应答细胞,以及结合第二肿瘤抗原并刺激所述免疫应答细胞的嵌合共刺激受体 (CCR),由此在所述肿瘤中诱导肿瘤细胞死亡。

20. 根据权利要求 19 所述的方法,其中所述方法使肿瘤细胞的数量减少。

21. 根据权利要求 19 所述的方法,其中所述方法使肿瘤尺寸减小。

22. 根据权利要求 19 所述的方法,其中所述方法根除肿瘤。

23. 一种治疗或预防受试者中的瘤形成的方法,所述方法包括施用有效量的免疫应答细胞,所述免疫应答细胞包括以低亲和力结合第一抗原的抗原识别受体,其中所述结合激活所述免疫应答细胞,以及结合第二抗原并刺激所述免疫应答细胞的嵌合共刺激受体 (CCR),由此治疗或预防所述受试者中的瘤形成。

24. 根据权利要求 23 所述的方法,其中所述瘤形成选自前列腺癌、乳腺癌、B 细胞白血病、多发性骨髓瘤、和卵巢癌。

25. 根据权利要求 23 所述的方法,其中所述瘤形成是乳腺癌且所述第一和第二肿瘤抗原是选自 HER2、MUC1、CD44、CD49f、EpCAM、CEA、CD133、巨细胞病毒 (CMV) 感染细胞抗原、EGP-2、EGP-40、EpCAM、erb-B2, 3, 4、FBP、KDR、间皮素、NKG2D 配体、NY-ESO-1、癌胚抗原 (h5T4)、PSCA、PSMA、VEGF-R2 或 WT-1 的不同的抗原。

26. 根据权利要求 23 所述的方法,其中所述瘤形成是 B 细胞白血病且所述第一和第二肿瘤抗原是 CD10 和 CD19。

27. 根据权利要求 24 所述的方法,其中所述瘤形成是多发性骨髓瘤且所述第一和第二肿瘤抗原是 CD56 和 CD138。

28. 根据权利要求 24 所述的方法,其中所述瘤形成是卵巢癌且所述第一和第二肿瘤抗原是选自间皮素、叶酸受体 -a、CD44、和 CD133 不同的抗原。

29. 根据权利要求 23-28 中任一项所述的方法,其中所述免疫应答细胞被选择为具有亲和力低的抗原识别受体。

30. 根据权利要求 23-28 中任一项所述的方法,其中所述抗原识别受体被选择为具有低亲和力用于在细胞中表达。

31. 根据权利要求 23-28 中任一项所述的方法,其中所述抗原识别受体是 T 细胞受体 (TCR) 或嵌合抗原受体 (CAR)。

32. 根据权利要求 23-28 中任一项所述的方法,其中所述抗原识别受体是外源或内源的。

33. 根据权利要求 23-32 中任一项所述的方法,其中所述抗原识别受体从载体中表达。

34. 根据权利要求 23-32 中任一项所述的方法,其中所述嵌合共刺激受体 (CCR) 从载体中表达。

35. 根据权利要求 23-34 中任一项所述的方法,其中所述细胞选自 T 细胞、自然杀伤 (NK) 细胞、细胞毒性 T 淋巴细胞 (CTL)、调节性 T 细胞、人类胚胎干细胞和从中能分化出淋巴样细胞的多能干细胞。

36. 根据权利要求 23-35 中任一项所述的方法,其中所述方法使所述受试者中的肿瘤负荷减少或根除。

37. 一种诱导肿瘤细胞死亡的方法,所述方法包括施用有效量的免疫应答细胞,所述免疫应答细胞包括以低亲和力结合第一抗原的抗原识别受体,其中所述结合激活所述免疫应答细胞,以及结合第二抗原并刺激所述免疫应答细胞的嵌合共刺激受体 (CCR),由此诱导受试者中的肿瘤细胞死亡。

38. 一种产生抗原特异性免疫应答细胞的方法,所述方法包括向免疫应答细胞中引入编码嵌合共刺激受体 (CCR) 的核酸序列,其中所述嵌合共刺激受体包括与刺激免疫应答细胞的细胞内信号转导域联接的抗原结合域,其中所述免疫应答细胞包括以低亲和力结合第一抗原的抗原识别受体,其中所述结合激活所述免疫应答细胞。

39. 根据权利要求 38 所述的方法,所述方法还包括引入编码嵌合抗原受体的第二核酸序列,其中所述嵌合抗原受体包括与激活免疫应答细胞的第二细胞内信号转导域联接的第二抗原结合域。

40. 根据权利要求 38-39 中任一项所述的方法,其中所述肿瘤抗原是选自 CAIX、CEA、CD5、CD7、CD10、CD19、CD20、CD22、CD30、CD33、CD34、CD38、CD41、CD44、CD49f、CD56、CD74、CD133、CD138、巨细胞病毒 (CMV) 感染细胞抗原、EGP-2、EGP-40、EpCAM、erbB2, 3, 4、FBP、胎儿型乙酰胆碱受体、叶酸受体 α 、GD2、GD3、HER-2、hTERT、IL-13R- α 2、 α -轻链、KDR、LeY、L1 细胞黏附分子、MAGE-A1、MUC1、间皮素、NKG2D 配体、NY-ESO-1、癌胚抗原 (h5T4)、PSCA、PSMA、ROR1、TAG-72、VEGF-R2 或 WT-1 的不同的抗原。

41. 根据权利要求 38-40 中任一项所述的方法,其中所述抗原识别受体是 T 细胞受体 (TCR) 或嵌合抗原受体 (CAR)。

42. 根据权利要求 38-41 中任一项所述的方法,其中所述抗原识别受体是外源或内源的。

43. 根据权利要求 38-42 中任一项所述的方法,其中所述抗原识别受体经重组表达。

44. 根据权利要求 38-43 中任一项所述的方法,其中所述抗原识别受体从载体中表达。

45. 根据权利要求 38-44 中任一项所述的方法,其中所述嵌合共刺激受体 (CCR) 从载体中表达。

46. 根据权利要求 38-45 中任一项所述的方法,其中所述细胞选自 T 细胞、自然杀伤 (NK) 细胞、细胞毒性 T 淋巴细胞 (CTL)、调节性 T 细胞、人类胚胎干细胞和从中能分化出淋巴样细胞的多能干细胞。

47. 根据权利要求 38-46 中任一项所述的方法,其中所述抗原识别受体的细胞内信号转导域是 CD3 链信号转导域。

48. 根据权利要求 38-47 中任一项所述的方法,其中所述嵌合共刺激受体 (CCR) 的细胞内信号转导域是 CD97、CD11a-CD18、CD2、ICOS、CD27、CD154、CD5、OX40、4-1BB 或 CD28 信号

转导域。

49. 一种治疗有需要的受试者中的前列腺癌的方法,所述方法包括向所述受试者施用治疗有效量的 T 细胞,所述 T 细胞包括以低亲和力结合 PSCA 或 CD19 的抗原识别受体,其中所述结合激活免疫应答细胞,以及结合 PSMA 并刺激免疫应答细胞的嵌合共刺激受体 (CCR),由此治疗受试者中的前列腺癌。

50. 一种药物组合物,包括权利要求 1-18 中任一项所述的免疫应答细胞以及药学上可接受的赋形剂。

53. 权利要求 1-18 中任一项所述的免疫应答细胞用于治疗瘤形成或肿瘤疾病的用途。

54. T 细胞用于治疗前列腺癌的用途,所述 T 细胞包括以低亲和力结合 PSCA 或 CD19 的抗原识别受体,其中所述结合激活免疫应答细胞,以及结合 PSMA 并刺激免疫应答细胞的嵌合共刺激受体 (CCR)。

55. 一种试剂盒,其包括免疫应答细胞,所述免疫应答细胞包括结合第一抗原并激活所述免疫应答细胞的抗原识别受体,以及结合第二病毒抗原并刺激所述免疫应答细胞的嵌合共刺激受体 (CCR)。

用于免疫疗法的组合物和方法

[0001] 相关申请的交叉引用

[0002] 本申请是非临时申请,要求于 2012 年 10 月 2 日提交的美国临时申请序列号 61/709,072 的优先权,其内容并入本申请以作参考。

[0003] 序列表

[0004] 本申请包含于 2013 年 9 月 30 日创建的序列表;文件呈 ASCII 格式,被命名为 3314040AW0_Sequence_Listing_ST25.txt 且大小为 27.5kb。序列表文件在此以其整体并入本申请以作参考。

背景技术

[0005] 前列腺癌是在美国男性中最频见的癌症并且是每年近 31,000 例死亡的成因。当早期被确诊时,癌症能够通过手术或放疗被有效地治疗。术后的残留疾病需要放疗和 / 或激素疗法,其可以防止肿瘤进展和转移。目前,没有对于激素难治性的转移性前列腺癌的有效治疗。免疫疗法是原则上提供用于这些癌症的治疗的靶向疗法。

[0006] 利用基因修饰自体 T 细胞的靶向 T 细胞疗法开始表现出在黑色素瘤和惰性 B 细胞恶性肿瘤中的治疗效力的证据。当前的 T 细胞工程策略通过转导 T 细胞受体 (TCR) 或嵌合抗原受体 (CAR) 使患者 T 细胞重定位于肿瘤抗原。但是,该引起有效免疫反应的新发现的能力,给出了将免疫攻击局限于肿瘤且避免针对可表达目标抗原的正常组织的反应的需求。因此,真正的 (truly) 肿瘤限制性抗原的有限可及性往往使达到高度特异性靶向受阻。在妨碍达到高度特异性靶向的限制中是真正的肿瘤限制性抗原的有限可及性。因此,迫切需要治疗瘤形成 (neoplasia) 的新方法。

发明内容

[0007] 本发明大体提供免疫应答细胞,上述免疫应答细胞包括 T 细胞和自然杀伤 (NK) 细胞,其表达具有免疫细胞激活活性的抗原结合受体 (例如, CAR 或 TCR) 和嵌合共刺激受体 (CCR),还提供使用其用于治疗瘤形成、传染病和其他病理学的方法。

[0008] 在一方面,本发明提供分离的免疫应答细胞,其具有以低亲和力与第一抗原结合 (其中该结合激活免疫应答细胞) 的抗原识别受体以及与第二抗原结合并刺激免疫应答细胞的嵌合共刺激受体 (CCR)。

[0009] 在另一方面,本发明提供诱导受试者中的肿瘤细胞死亡的方法,该方法包括施用有效量的免疫应答细胞,所述免疫应答细胞包括以低亲和力与第一抗原结合 (其中该结合激活免疫应答细胞) 的抗原识别受体以及与第二抗原结合并刺激免疫应答细胞的嵌合共刺激受体 (CCR),从而在受试者中诱导肿瘤细胞死亡。

[0010] 在又一方面,本发明提供治疗或预防受试者中的瘤形成的方法,该方法包括施用有效量的免疫应答细胞,所述免疫应答细胞包括以低亲和力与第一抗原结合 (其中该结合激活免疫应答细胞) 的抗原识别受体以及与第二抗原结合并刺激免疫应答细胞的嵌合共刺激受体 (CCR),从而治疗或预防受试者中的瘤形成。

[0011] 在又一方面,本发明提供治疗有需要的受试者中的前列腺癌的方法,该方法包括向受试者施用治疗有效量的 T 细胞,该 T 细胞包括以低亲和力与 PSMA 或 CD 19 结合(其中该结合激活免疫应答细胞)的抗原识别受体以及与 PSMA 结合并刺激免疫应答细胞的嵌合共刺激受体(CCR),从而治疗受试者中的前列腺癌。

[0012] 在又一方面,本发明提供制备抗原特异性的免疫应答细胞的方法,该方法包括向免疫应答细胞引入编码嵌合共刺激受体(CCR)的核酸序列,其中该嵌合共刺激受体具有与刺激免疫应答细胞的细胞内信号转导域(intracellular signaling domain)结合的抗原结合域,其中该免疫应答细胞具有以低亲和力与第一抗原结合(其中该结合激活免疫应答细胞)的抗原识别受体。

[0013] 在相关方面,本发明提供药物组合物,其包括在药学可接受赋形剂中的有效量的本发明免疫应答细胞(例如,用于治疗瘤形成的药物组合物中的肿瘤抗原特异性 T 细胞)。

[0014] 在另一方面,本发明提供用于治疗瘤形成、病原体感染、自身免疫性疾病或同种异体移植的试剂盒,该试剂盒包含这样的免疫应答细胞,其中免疫应答细胞具有与第一抗原结合并激活免疫应答细胞的抗原识别受体,以及与第二病毒抗原结合并刺激免疫应答细胞的嵌合共刺激受体(CCR)。该试剂盒还可包括使用免疫应答细胞来治疗具有瘤形成、病原体感染、自身免疫性疾病或同种异体移植的受试者的书面说明。

[0015] 在本文所述方面的任一者的多个实施方式中,该免疫应答细胞被选择为具有亲和力低的抗原识别受体。这可涉及到免疫应答细胞被选择为具有以低亲和力与第一抗原结合的抗原识别受体。在本文所述方面的任一者的多个实施方式中,该抗原识别受体被选择为具有低亲和力用于在细胞中表达。这可涉及到引入编码嵌合抗原受体的第二核酸序列,其中该嵌合抗原受体包括与激活免疫应答细胞的第二细胞内信号转导域结合的第二抗原结合域。在本文所述方面的任一者的多个实施方式中,抗原识别受体是 T 细胞受体(TCR)或嵌合抗原受体(CAR)。在多个实施方式中,所述抗原识别受体的细胞内信号转导域是 CD-3 链信号转导域。在多个实施方式中,该嵌合共刺激受体(CCR)的细胞内信号转导域是 CD97、CD11a-CD18、CD2、ICOS、CD27、CD154、CD5、OX40、4-1BB 或者 CD28 信号转导域。

[0016] 在本文所述方面的任一者的多个实施方式中,抗原识别受体是外源或内源的。在本文所述方面的任一者的多个实施方式中,抗原识别受体经重组表达。在多个实施方式中,抗原识别受体从载体中表达。在多个实施方式中,嵌合共刺激受体(CCR)从载体中表达。在特定实施方式中,免疫应答细胞表达重组的或内源性抗原受体,19z1 或 Pz1。

[0017] 在本文所述方面的任一者的多个实施方式中,免疫应答细胞是 T 细胞、自然杀伤(NK)细胞、细胞毒性 T 淋巴细胞、调节性 T 细胞、人类胚胎干细胞、或从其中可分化出淋巴样细胞的多能干细胞。在本文所述方面的任一者的多个实施方式中,权利要求 1-9 中任一项的免疫应答细胞,其中所述的免疫应答细胞是自体的。

[0018] 在本文所述方面的任一者的多个实施方式中,抗原是肿瘤或病原体抗原。在本文所述方面的任一者的多个实施方式中,一个或多个抗原结合域是肿瘤抗原结合域。在本文所述方面的任一者的多个实施方式中,抗原或肿瘤抗原选自 CAIX、CEA、CD5、CD7、CD10、CD19、CD20、CD22、CD30、CD33、CD34、CD38、CD41、CD44、CD49f、CD56、CD74、CD133、CD138、巨细胞病毒(CMV)感染细胞抗原、EGP-2、EGP-40、EpCAM、erb-B2、3、4、FBP、胎儿型乙酰胆碱受体、叶酸受体-a、GD2、GD3、HER-2、hTERT、IL13R-a2、x-轻链、KDR、LeY、L1 细胞黏附分子、

MAGE-A1、MUC1、间皮素、NKG2D 配体、NY-ESO-1、癌胚抗原 (h5T4)、PSCA、PSMA、ROR1、TAG-72、VEGF-R2 和 WT-1。在多个实施方式中,第一和第二抗原选自 CD133、巨细胞病毒 (CMV) 感染细胞抗原、erbB2、KDR、间皮素、NKG2D 配体、NY-ESO-1、癌胚抗原 (h5T4)、PSCA、PSMA、CD19、VEGF-R2 和 WT-1。在特定实施方式中,第一和第二抗原选自 HER2、MUC1、CD44、CD49f、EpCAM、CEA、CD133、巨细胞病毒 (CMV) 感染细胞抗原、EGP-2、EGP-40、EpCAM、erb-B2, 3, 4、FBP、KDR、间皮素、NKG2D 配体、NY-ESO-1、癌胚抗原 (h5T4)、PSCA、PSMA、VEGF-R2 或 WT-1。在特定的实施方式中,第一和第二抗原选自 CD10 和 CD19。在其它的实施方式中,第一和第二抗原选自 CD56 和 CD138。在某些实施方式中,第一和第二抗原选自间皮素、叶酸受体 -a、CD44 和 CD133。

[0019] 在本文所述方面的任一者的多个实施方式中,瘤形成选自前列腺癌、乳腺癌、B 细胞白血病、多发性骨髓瘤以及卵巢癌。在本文所述方面的任一者的多个实施方式中,该方法降低受试者中的肿瘤细胞数目,减小受试者中的肿瘤尺寸,和 / 或根除受试者中的肿瘤。

[0020] 在多个实施方式中,瘤形成是前列腺癌且第一和第二肿瘤抗原是不同的抗原,选自 PSCA、PSMA、CD19、CD133、巨细胞病毒 (CMV) 感染细胞抗原、erb-B2、KDR、间皮素、NKG2D 配体、NY-ESO-1、癌胚抗原 (h5T4)、VEGF-R2 和 WT-1。在多个实施方式中,瘤形成是乳腺癌且第一和第二肿瘤抗原是不同的抗原,选自 HER2、MUC1、CD44、CD49f、EpCAM、CEA、CD133、巨细胞病毒 (CMV) 感染细胞抗原、EGP-2、EGP-40、EpCAM、erb-B2, 3, 4、FBP、KDR、间皮素、NKG2D 配体、NY-ESO-1、癌胚抗原 (h5T4)、PSCA、PSMA、VEGF-R2 或 WT-1。在特定实施方式中,瘤形成是 B 细胞白血病且第一和第二肿瘤抗原选自 CD10 和 CD19。在某些实施方式中,瘤形成是多发性骨髓瘤且第一和第二肿瘤抗原选自 CD56 和 CD138。在多个实施方式中,瘤形成是卵巢癌且第一和第二肿瘤抗原是不同的抗原,选自间皮素、叶酸受体 -a、CD44 和 CD133。

[0021] 本发明提供为靶向肿瘤细胞提供 T 细胞的组合物和方法。本发明限定的组合物和物品是分离的或者另外根据下面提供的实施例制备。本发明的其他特点和优点从详细说明和权利要求中将是显而易见的。

附图说明

[0022] 图 1A-C 是描述嵌合抗原受体 (CAR) 和嵌合共刺激受体 (CCR) 载体设计以及经由原代人 T 细胞转导的表达的图。(A) 描述了通过将免疫球蛋白可变域的重链和轻链与 CD8 跨膜域 (其被融合至 CD3 的胞质信号转导域) 融合生成 CAR。通过使用内部核糖体进入位点 (IRES) 实现双顺反子表达, CAR 表达可通过关联 dsRED 荧光而很容易地被检测 (数据未示出)。通过将 scFv 融合至 CD28 跨膜和信号转导域¹⁵ (其被融合至 4-1BB (aka CD137) 胞质信号转导域) 而生成 CCR²¹。CCR 表达可以与 hrGFP 的双顺反子表达相关联 (数据未示出)。缩写: LTR- 长末端重复; SD- 剪接供体位点; SA- 剪接受体位点; VH 或 V_L- 分别为可变重域或可变轻域; EC- 胞外域; TM- 跨膜域; C- 胞质域; IRES- 内部核糖体进入位点; dsRED- Discosoma 菌株红色荧光蛋白, hrGFP- 人重组绿色荧光蛋白。(B) 描述了使用这些逆转录病毒载体的原代人 T 细胞的代表性转导效率。(C) 描述了本研究中用不同的多种 CAR 进行的 CTL 转导。

[0023] 图 2A-D 显示了当结合两个抗原时,双受体 (CAR/CCR) 介导的人类 T 细胞激活可实现强健的 CTL 功能、长期的增殖以及增强的肿瘤根除。(A) 显示与未转导或经 P28BB 转导的 T 细胞相比,在 CTL 实验中当 T 细胞表达 CD19 特异性 CAR 时,表达嵌合受体的 T 细胞溶解

抗原阳性细胞。制图是 $n > 4$ 试验的代表,误差条表示 3 个重复实验的均值的标准差。(B) 显示了与表达两种或单独表达抗原之一的人肿瘤细胞系共培养的 T 细胞在 31 天内的 T 细胞长期增殖(绝对 T 细胞计数),所述 T 细胞不表达、表达一种或两种嵌合受体。箭头表示使用经新鲜辐照的肿瘤细胞重刺激 T 细胞。只有在表达双受体的 T 细胞遇到两种抗原时才观察到强健的长期增殖。制图是 $n > 4$ 试验的代表,误差条表示 3 个重复实验的均值的标准差。(C) 描述了肿瘤感应 T(TTS) 细胞的全身性肿瘤根除的效力,通过将 1.0×10^6 的 T 细胞静脉(IV)注射到携带表达荧光素酶的 CD19⁺PSMA⁺PC3 人前列腺肿瘤的 NSG 小鼠而进行评估。通过使用 BLI 每周定量测定肿瘤负荷。示出来自每组的两只代表性小鼠的图像,肿瘤发光的像素强度以彩色表示。对平均肿瘤负荷进行制图,误差条表示来自每组 6 只小鼠的均值的标准差。(D) 描述了使用三肿瘤小鼠模型的 DP 肿瘤选择性根除,通过皮下注射 1×10^6 的 PC3 肿瘤细胞,每种单独对 CD19 呈阳性的细胞注射入左肋,单独对 PSMA 呈阳性的细胞注射入右肋,对 CD19 和 PSMA 都呈阳性的细胞注入小鼠背部。在肿瘤注入后 7 天静脉注入表达嵌合受体的 19z1 或 P28BB 或 19z1+P28BB 的 T 细胞。示出携带这些肿瘤的每组两只小鼠的代表性图像,肿瘤发光以彩色表示。用卡钳定量测量肿瘤,并对每个肿瘤的肿瘤体积相对于时间作图。误差条表示 6 只小鼠的均值的标准差。用双尾非配对 t 检验来确定统计学显著性,以比较由 19z1T 细胞和 19z1+P28BB T 细胞得到的值,p 值表示为 * < 0.05 或 ** < 0.01。

[0024] 图 3A-E 描述了当靶向两种前列腺肿瘤抗原时,肿瘤感应 T_(TTS) 细胞选择性地根除人类前列腺肿瘤。(A) 描述了对三种不同的特异于 PSCA 的 scFv 组装到双特异性抗体中的评价,该双特异性抗体还具有对 CD3 的特异性。将 T 细胞与 PSCA⁺PC3 肿瘤细胞以 20:1 的比率共同培养且加入不同量的抗体,并测定特异性溶解。(B) 描述了使用在细胞毒性测定中表现出不同效力的抗 PSCA scFv 来产生 CAR。CAR 介导的表达 PSCA 的靶细胞的特异性裂解证实了 Lz1scFv 的较弱效力:其需要 50 倍高的效应物:靶标比率以达到与 Hz1 或 Mz1 相同的细胞溶解水平。(C) 和 (D) 描述了表达 PSCA 和 PSMA 的全身性前列腺肿瘤的选择性根除,通过用这些低效的 scFv 进行研究。如图 2 所示,确立肿瘤(图 5)并进行处理。14 天后,对 Mz1+P28BB(图 3C) 或 Lz1+P28BB(图 3D) 静脉注射 1.0×10^6 的嵌合受体阳性 T 细胞。示出每组两只代表性小鼠的图像,肿瘤发光以彩色示出(从蓝色 = 5×10^5 至红色 = 2×10^7 光子)。平均肿瘤负荷通过发光而加以定量并进行制图,误差条表示每组 5 只小鼠的均值的标准差。接受 PSMA 肿瘤的两只小鼠(绿线)在 49 天后死亡,因此发光均值通过从 56 天和 63 天的 3 个值求均值得到。图 3E:与图 2D 类似,在还有 PSCA⁺PSMA⁺和 PSCA⁺PSMA⁻的小鼠中,通过 Lz1+P28BB T 细胞实现了仅对 PSCA⁺PSMA⁺肿瘤的选择性抗肿瘤反应。用双尾非配对 t 检验来确定统计学显著性,以比较由 Lz1T 细胞和 Lz1+P28BB T 细胞得到的值,p 值表示为 * < 0.05 或 ** < 0.01。

[0025] 图 4A-D 描述了当在 DP 肿瘤上共培养时,发现由 TTS 引起的增强的细胞因子分泌和 BclxL 表达。(A) 描述了在使用未转导的 PC3 细胞(空)或 CD19⁺PSMA⁺PC3 细胞进行第一抗原刺激之后 48 小时对未转导 T 细胞或用 19z1、P28BB 或二者进行转导的 T 细胞的多重细胞因子分析。误差条代表 2 个生物学复制品的均值的标准差。(B-D) 描述了对未转导 T 细胞、或者用 Hz1(B);Mz1(C) 和 Lz1(D) 转导的 T 细胞(抗 PSCA CAR、P28BB CAR 或 CAR+CCR 二者)的多重细胞因子分析,示出在用空白或用 PSCA+PSMA+PC3 细胞进行第二抗原刺激后

48 小时的结果。(E) 描述了在初始抗原刺激后的 24 小时后,使用未转导 T 细胞或用 19z1、P28BB 或二者进行转导的 T 细胞的细胞裂解物进行的 Bc1xL 蛋白质印迹分析。Akt 的总量被用作负载对照。

[0026] 图 5 描述了产生前列腺肿瘤细胞用以表达融合蛋白 GFP-萤火虫荧光素酶 (GFP/Luc) 和肿瘤抗原。使用逆转录表达构建体,用 GFP/Luc 以及 CD19、PSMA、PSCA 或两种抗原的组合对未转导的 PC3 细胞(空白)进行转导。通过对 GFP/Luc、CD19、PSMA 和 / 或 PSCA 的双提纯 FACS 提纯细胞。

[0027] 图 6A-C 图示了肿瘤感应 T 细胞的构思。(A) 描述了表达有效 CAR 的 TTS 细胞,经 A^+113^+ 细胞有效刺激而促进针对 A^+ 细胞的免疫应答。 CAR^+CCR^+ 细胞能够结合具有提供 CD3 激活信号的 CAR 的肿瘤抗原 A^+ 细胞。这能够导致短期细胞溶解。 CAR^+CCR^+ 细胞能够结合具有提供 CD28 和 CD137 信号的 CCR 的肿瘤抗原 B^+ 细胞。该信号单独不足以引发细胞溶解或增殖。只有当 CAR^+CCR^+ 细胞结合具有 CAR 和 CCR 的肿瘤抗原 A^+B^+ 细胞时,才能同时提供激活和刺激。这导致强健的裂解、T 细胞增殖、增强的细胞因子分泌、Bc1xL 的上调以及在体内选择性根除肿瘤的能力。然而,取决于 CAR 的效力,这些 CAR^+CCR^+ 细胞能够潜在地再循环而裂解单独对 CAR 特异性抗原呈阳性的细胞。图 6B 描述了通过降低 CAR 的效力,使得 TTC 细胞可以在遇到 A^+B^+ 细胞时能够通过 CCR 结合而功能性挽救,从而选择性地响应且根除 A^+B^+ 细胞,同时避免对 A^+ 细胞的反应。(C) 显示了通过第一 CAR(其在结合肿瘤抗原时提供 TCR 激活信号)以及第二 CAR(其在结合不同的肿瘤抗原时提供刺激信号)的共表达,T 淋巴细胞将只根除表达两种抗原的肿瘤,而不根除表达单独抗原的肿瘤。

具体实施方式

[0028] 说明书中提及的所有专利、公开的申请以及其他参考文献在此并入本公开中以作参考。

[0029] 除非另有限定,否则本文所用的所有技术和科学术语具有本发明所属领域的技术人员通常理解的含义。以下的参考为本领域技术人员提供了本发明所用的多个术语的一般定义:Singleton 等人,Dictionary of Microbiology and Molecular Biology(2nd ed. 1994);The Cambridge Dictionary of Science and Technology(Walker ed., 1988);The Glossary of Genetics, 5th Ed., R. Rieger 等人 (eds.), Springer Verlag(1991);以及 Hale&Marham, The Harper Collins Dictionary of Biology(1991)。如本文所用,以下术语具有下文对其所述的含义,除非另有限定。

[0030] “激活免疫应答细胞”意指引起细胞中信号转导或蛋白质表达的改变,其导致免疫应答起始。例如,当 CD3 链响应于配体结合和基于免疫受体酪氨酸的抑制基序 (ITAM) 而聚集时,产生信号转导级联。在某些实施方式中,当内源性 TCR 或外源性 CAR 与抗原结合时,免疫突触的形成发生,其包括被结合受体(例如 CD4 或 CD8、CD3/// 等等)附近的多个分子的聚集。膜结合信号转导分子的聚集使得包含在 CD3 链内的 ITAM 基序变得磷酸化。该磷酸化进而起始 T 细胞激活通路,最终激活转录因子如 NF-KB 和 AP-1。这些转录因子诱导 T 细胞的全局基因表达,使 IL-2 产生增加用于增殖,并表达主调节性 T 细胞蛋白,从而起始 T 细胞介导的免疫应答。“刺激免疫应答细胞”意指引起强健且持久的免疫应答的信号。在多个实施方式中,这发生在受体介导的免疫细胞(例如, T 细胞)激活之后或伴随其发生,

受体包括但不限于, CD28、CD137 (4-1BB)、OX40 和 ICOS。不局限于具体的理论, 接收多重刺激信号对于增加强健和长期的 T 细胞介导的免疫应答是重要的。不接收这些刺激信号时, T 细胞迅速变得受抑制并且对抗原无响应。尽管这些共刺激信号的作用多样化并且仅部分被理解, 但其总体导致基因表达增加以产生长期存活的增殖性的抗细胞凋亡的 T 细胞, 这些 T 细胞稳健地发生抗原应答以实现完全且持久的根除。

[0031] 本文所用的术语“抗原识别受体”是指能够响应于抗原结合而激活免疫细胞 (例如, T 细胞) 的受体。示例性的抗原识别受体可以是内生的或内源性的 T 细胞受体或嵌合抗原受体, 在嵌合抗原受体中肿瘤抗原结合域融合至能够激活免疫细胞 (例如, T 细胞) 的细胞内信号转导域。在多个实施方式中, 抗原识别受体被选择为对抗原具有低或最小的亲和力或亲合力 (avidity)。

[0032] “亲和力”意指抗体与简单半抗原或抗原决定簇之间的结合强度的衡量。不限于理论, 亲和力取决于抗体结合部位与抗原决定簇的立体化学配合的紧密程度、它们之间接触区域的大小、以及带电荷和疏水基团的分布。亲和力还涵盖术语“亲合力”, 其是指在形成可逆复合物之后抗原-抗体结合的强度。用于计算抗体对抗原亲和力的方法是本领域已知的, 包括使用结合实验来计算亲和力。在抗体 (Ab) 结合抗原 (Ag) 的情况下, 使用亲和常数 (表示为解离常数的倒数)。

[0033] $Ab + Ag = AbAg$

[0034] $K_a = \frac{[AbAg]}{[Ab][Ag]} = \frac{1}{K_d}$

[0035] $[Ab][Ag]K_a$

[0036] 抗体结合的化学平衡也是结合速率 (on-rate, $k_{\text{正反应}}$) 和解离速率 (off-rate, $k_{\text{逆反应}}$) 常数的比值。两种抗体可具有相同的亲和力, 但是一个可能具有高的结合速率和解离速率常数, 而另一个可能具有低的结合速率和解离速率常数。

[0037]

$$K_a = \frac{k_{\text{正反应}}}{k_{\text{逆反应}}} = \frac{\text{结合速率}}{\text{解离速率}}$$

[0038] 功能测定 (例如, 细胞溶解测定) 中的抗体活性也反映了抗体亲和力。在本发明的多个实施方式中, 抗原识别受体具有低亲和力。低亲和力包括微摩尔和纳摩尔的亲和力 (例如, 10^{-5} 、 5×10^{-6} 、 10^{-6} 、 5×10^{-7} 、 10^{-7} 、 5×10^{-8} 、 10^{-8} 、 5×10^{-9} 、 10^{-9} M)。抗体和亲和力能够用功能测定 (例如, 细胞溶解实验) 直观地表征和比较。

[0039] “亲和力”意指抗体与简单半抗原或抗原决定簇之间的结合强度的衡量。如本文所用的术语“嵌合共刺激受体”(CCR) 是指独立于激活的介导共刺激的特定类型的嵌合抗原受体 (CAR)。当与抗原识别受体 (例如, 激活细胞的 CAR 或 TCR) 组合在免疫应答细胞上表达时, CCR 靶向第二抗原。在某些实施方式中, CCR 对其靶抗原具有中等或高的亲和力。

[0040] 如本文所用的术语“嵌合抗原受体 (CAR)”是指与能够激活或刺激 T 细胞的细胞内信号转导域融合的肿瘤抗原结合域。最普遍地, 该 CAR 的细胞外结合域由单链可变片段 (scFv) 构成, scFv 通过鼠科或人源化的单克隆抗体的重链和轻链可变区融合而衍生得到。或者, 可以使用衍生自 Fab 的 scFv (而非来自抗体, 例如从 Fab 库获得)。在多个实施方式

中,此 scFv 与跨膜域融合,然后与细胞内信号转导域融合。“第一代”CAR 包括在抗原结合时仅提供 CD3 信号的那些,“第二代”CAR 包括既提供共刺激(例如,CD28 或 CD137)也提供激活(CD3)的那些。“第三代”CAR 包括提供多重共刺激(例如,CD28 和 CD137)和激活(CD3)的那些。在迄今的 CAR 应用中,CAR 被选择为对抗原具有高亲和力或亲合力,其与本文所述发明是不同且可区分的。

[0041] “CD3 多肽”意指与 NCBI 参考号:NP_932170 或其片段具有至少 85%、90%、95%、96%、97%、98%、99% 或 100% 同一性的具有激活或刺激活性的蛋白质。示例性 CD3 在下面的表 1 中给出。“CD3 核酸分子”意指编码 CD3 多肽的多核苷酸。

[0042] “CD8 多肽”意指与 NCBI 参考号:NP_001759 或其片段具有至少 85%、90%、95%、96%、97%、98%、99% 或 100% 同一性的具有刺激活性的蛋白质。示例性 CD8 在下面的表 1 中给出。“CD8 核酸分子”意指编码 CD8 多肽的多核苷酸。

[0043] “CD28 多肽”意指与 NCBI 参考号:NP_006130 或其片段具有至少 85%、90%、95%、96%、97%、98%、99% 或 100% 同一性的具有刺激活性的蛋白质。示例性 CD28 在下面的表 1 中给出。“CD28 核酸分子”意指编码 CD28 多肽的多核苷酸。

[0044] “4-1BB 多肽”意指与 NCBI 参考号:P41273 或 NP_001552 或其片段具有至少 85%、90%、95%、96%、97%、98%、99% 或 100% 同一性的充当肿瘤坏死因子(TNF)配体的蛋白质。示例性 4-1BB 在下面的表 1 中给出。“4-1BB 核酸分子”意指编码 4-1BB 多肽的多核苷酸。

[0045] “CD80 多肽”意指与 NCBI 参考号:NP_005182 或其片段具有至少 85%、90%、95%、96%、97%、98%、99% 或 100% 同一性的充当 Ig 超家族配体的蛋白质。示例性 CD80 多肽在下面的表 1 中给出。

[0046] “CD80 核酸分子”意指任何编码 CD80 多肽的多核苷酸。示例性的 CD80 核酸分子是 NM_005191。

[0047] “OX40L 多肽”意指与 NCBI 参考号:BAB18304 或 NP_003317 或其片段具有至少 85%、90%、95%、96%、97%、98%、99% 或 100% 同一性的作为肿瘤坏死因子(TNF)配体的蛋白质。“OX40L 核酸分子”意指编码 OX40L 多肽的多核苷酸。

[0048] “19z1 多肽”意指与以下提供的序列具有至少 85%、90%、95%、96%、97%、98%、99% 或 100% 同一性且在与 CD19 结合时具有激活活性的蛋白质。

[0049] “P28z 多肽”意指与以下提供的序列具有至少 85%、90%、95%、96%、97%、98%、99% 或 100% 同一性的蛋白质。

[0050] “CD19”意指与以下提供的序列具有至少 85%、90%、95%、96%、97%、98%、99% 或 100% 同一性且能够结合 CD19 的蛋白质。

[0051] “PSMA”表示与以下提供的序列具有至少 85%、90%、95%、96%、97%、98%、99% 或 100% 同一性且能够结合 PSMA 的蛋白质。

[0052] “P28BB”表示与以下提供的序列具有至少 85%、90%、95%、96%、97%、98%、99% 或 100% 同一性且在与 PSMA 结合时具有刺激活性的蛋白质。

[0053] 表 1

[0054]

SEQ ID NO.	名称	
1	CD3 ζ	mkwkalfataa ilqaqlpita aqsfglldpk lcyllldgilf iygviltalf lrvkfsrsad apayqggqng lynelnlgr eeydvldkrr grdpemggkp qrrknpqegl ynelqkdkma eayseigmkg errrgkghdg lyqglsta tkdtydahm galppr
2	CD8	malpvtalll plalllhaar psqfrvspld rtwnlgetve lkcqvllsnp tsgcswlfqp rgaaasptfi lylsqkpkka aegldtqrfs gkrlgdtfvl tldsfrrene gyyfcsalsn simyfshfvp vflpakpttt paprpptpap tiasqplslr peacrpaagg avhtrgldfa cdiyiwapia gtcgvlllsl vitlycnhrn rrrvckepvp vvksgdkpsl saryv
3	CD28	mrlrllaln1 fpsiqvtgnk ilvkqspmlv aydnavnls kysynlfsre fraslhkgld savevcvvyg nysqqlqvys ktgfncdgkl gnesvtfylq nlyvngtdiy fckievmypp pyldneksng tiihvkghl cpsplfpgps kpfwvlvvyg gvlacysllv tvafliifwv skrsrllhsd ymmmtprp ptrkhyqpva pprdfaayrs
4	4-1BB	mgnsycyniva tlllvlnfer trslqdpesn cpagtfcodnn rnqicspcpp nsfssaggqr
		todicrqckg vfrtrkecss tsnaecdctp gfholgagcs mceqdcckggq eltckgckdc cfgtfndqkr gicrpwtncs ldgksvlvng tkerdvvcgp spadlspgas svtpapapare pghspqiisf flaltstall flfffltrf svvkrgrkkl lyifkqpfmr pvqttqeedg cscrfepeeee ggcel
5	CD80	mghtrrqgts pskcpylnff qlvlagls h fcsghvihvtk evkevatlsc ghavsveela qtriywqkek kmvltmmsgd mniwpeyknr tifditnls ivilalrpsd egtyecvvlk yekdafkreh laevtlsvka dfptpsisdf eiptsnirri icstsggfpe phlswleng einainttvs qdpetelyav ssklfdnmtt nhsfmcliky ghlrvnqtfn wnttkqehfp dnllpswait lisvngifvi ccltycfapr crerrrnerl rresvrpv
6	OX40L	mervqpleen vgnaarprfe rnklllvasv igglglllcf tyiclhfsal qvshrypriq sikvqfteyk kekgfilsq kedeimkvqn nsviincdgd yllslkgyfs qevnislhyq kdeepfqlk kvrsvnslmv asltykdkvy lnvttndtsl ddfhnvggel ilhqnpgef cvl

[0055]

7	19z1	MALPVTALLLPLALLLHAEVKLQQSGAELVRPGSSVKISCKAS GYAFSSYWMNWVKORPGQGLEWIGQIYPGDGDTNYNGKFKGQA TLTADKSSSTAYMQLSGLTSEDSAVYECARKTISSVVDYFDY WGQGTTVTVSSGGGGSGGGGSGGGGSDIELTQSPKFMSTSVGD RVSVTCKASQNVGTNVAWYQQKPGQSPKPLIYSATYRNSGVDP RFTGSGSGTDFTLTIITNVQSKDLADYFCQQYNRYPYTSGGGTK LEIKRAAAPTTPAPRPPTPAPTIASQPLSLRPEACRPAAGGA VHTRGLDFACDIYIWAPLAGTCGVLLLLSLVITLYCNHRVKFSR SAEPPAYQQGQNLYNELNLRREEYDVLDKRRGRDPENGGK RRKNPQEGLYNELQKDKMAEAYSEIGMKGERRRGKGGHDGLYQG LSTATKDTYDALHMQALPPR
8	P28z	MALPVTALLLPLALLLHAEVQLQQSGPELVKPGTSVRISCKTSGYTF TEYTIHWVKQSHGKSLEWIGNINPNNGGTTYNQKFEDKATLTVDKSS STAYMELRSLTSEDSAVYYCAAGWNFDYWGQGTTVTVSSGGGGSGGG GSGGGGSDIVMTQSHKFMSTSVGDRVSIICKASQDVGTAVDWYQQK GQSPKLLIYWASTRHTGVPDRFTGSGSGTDFTLTIITNVQSEDLADYF CQQYNSYPLTFGAGTMLDLKRAAAIEVMYPPPYLDNEKSNGTIIHVK GKHLCPSPPLFPGPSKPFVWLVVGGV LACYSLLVTVAFIIFWVRSKR SRL LHS DYMNMT PRRPGPTRKHYQPYAPPRDFAAYSRVKFSRSADA PAYQQGQNLYNELNLRREEYDVLDKRRGRDPENGGKPRRKNPQEG LYNELQKDKMAEAYSEIGMKGERRRGKGGHDGLYQGLSTATKDTYDAL HMQALPPR
		EVKLQQSGAELVRPGSSVKISCKASGYAFSSYWMNWVKORPGQGLEW
9	CD19	IGQIYPGDGDTNYNGKFKGQATLTADKSSSTAYMQLSGLTSEDSAVY FCARKTISSVVDYFDYWGQGTTVTVSSGGGGSGGGGSDIEL TQSPKFMSTSVGDRVSVTCKASQNVGTNVAWYQQKPGQSPKPLIYSA TYRNSGVDPDRFTGSGSGTDFTLTIITNVQSKDLADYFCQQYNRYPYTS GGGKLEIKR
10	PSMA	MMALPVTALLLPLALLLHAEVQLQQSGPELVKPGTSVRISCKTSGYT FTEYTIHWVKQSHGKSLEWIGNINPNNGGTTYNQKFEDKATLTVDKS SSTAYMELRSLTSEDSAVYYCAAGWNFDYWGQGTTVTVSSGGGGSGG GGSGGGSDIVMTQSHKFMSTSVGDRVSIICKASQDVGTAVDWYQQK PGQSPKLLIYWASTRHTGVPDRFTGSGSGTDFTLTIITNVQSEDLADY FCQQYNSYPLTFGAGTMLDLKR
11	P28BB	MALPVTALLLPLALLLHAEVQLQQSGPELVKPGTSVRISCKTSGYTF TEYTIHWVKQSHGKSLEWIGNINPNNGGTTYNQKFEDKATLTVDKSS STAYMELRSLTSEDSAVYYCAAGWNFDYWGQGTTVTVSSGGGGSGGG GSGGGGSDIVMTQSHKFMSTSVGDRVSIICKASQDVGTAVDWYQQK GQSPKLLIYWASTRHTGVPDRFTGSGSGTDFTLTIITNVQSEDLADYF CQQYNSYPLTFGAGTMLDLKRAAAIEVMYPPPYLDNEKSNGTIIHVK GKHLCPSPPLFPGPSKPFVWLVVGGV LACYSLLVTVAFIIFWVRSKR SRL LHS DYMNMT PRRPGPTRKHYQPYAPPRDFAAYSRVSVVVRGRK KLLYIFKQPFMRVQTTQEEDGCSCRFPEEEEGGCE

[0056] 可用于本发明方法的核酸分子包括任何编码本发明多肽或其片段的核酸分子。这样的核酸分子无须与内源核酸序列 100% 相同，但通常会表现出基本一致性 (substantial identity)。与内源序列具有“基本一致性”的多核苷酸通常能够与双链核酸分子的至少一条链杂交。“杂交”意指在多种的严谨度 (stringency) 条件下，在互补的多核苷酸序列 (例如，本文所述基因) 或其部分之间配对形成双链分子 (参见，例如，Wahl, G. M. 和 S. L. Berger (1987) Methods Enzymol. 152:399 ;Kimmel, A. R. (1987) Methods Enzymol. 152:507)。

[0057] 例如,严谨性盐浓度通常将低于约 750mM NaCl 和 75mM 柠檬酸三钠,优选低于约 500mM NaCl 和 50mM 柠檬酸三钠,更优选低于约 250mM NaCl 和 25mM 柠檬酸三钠。低严谨度杂交可以在不存在有机溶剂(例如甲酰胺)下获得,而高严谨度杂交可以在至少约 35% 的甲酰胺,更优选至少约 50% 甲酰胺的存在下获得。严谨性温度条件通常将包括至少约 30°C,更优选至少约 37°C,最优选至少约 42°C 的温度。各种其他参数例如杂交时间、洗涤剂例如十二烷基磺酸钠(SDS)的浓度、以及包含或不包含载体 DNA 对本领域技术人员是熟知的。通过按需组合这些多个条件而实现不同的严谨度水平。在优选的实施方式中,杂交将在 30°C 下在 750mM NaCl、75mM 柠檬酸三钠和 1% SDS 中发生。在更优选的实施方式中,杂交将在 37°C 下在 500mM NaCl、50mM 柠檬酸三钠、1% SDS、35% 甲酰胺和 1001.1g/ml 变性鲑鱼精子 DNA(ssDNA) 中发生。在最优选的实施方式中,杂交将在 42°C 下在 250mM NaCl、25mM 柠檬酸三钠、1% SDS、50% 甲酰胺和 200p. g/ml ssDNA 中发生。这些条件的有用改变对本领域技术人员将是显而易见的。

[0058] 对大多数应用,杂交接下来的洗涤步骤在严谨度中也将是可变的。洗涤严谨度条件能够通过盐浓度和温度加以限定。如上,可通过降低盐浓度或升高温度来增加洗涤严谨度。例如,用于洗涤步骤的严谨性盐浓度将优选为低于约 30mM NaCl 和 3mM 柠檬酸三钠,最优选低于约 15mM NaCl 和 1.5mM 柠檬酸三钠。用于洗涤步骤的严谨性温度条件通常将包括至少约 25°C,更优选至少约 42°C,甚至更优选至少约 68°C 的温度。在优选的实施方式中,洗涤步骤将在 25°C 下在 30mM NaCl、3mM 柠檬酸三钠和 0.1% SDS 中发生。在更优选的实施方式中,洗涤步骤将在 42°C 下在 15mM NaCl、1.5mM 柠檬酸三钠和 0.1% SDS 中发生。在另一实施方式中,洗涤步骤将在 68°C 下在 15mM NaCl、1.5mM 柠檬酸三钠和 0.1% SDS 中发生。这些条件的另外改变对本领域技术人员将是显而易见的。

[0059] 杂交技术对本领域技术人员是熟知的且记载于例如 Benton 和 Davis(Science 196:180,1977);Grunstein 和 Hogness(Proc. Natl. Acad. Sci., USA72:3961,1975);Ausubel 等人(Current Protocols in Molecular Biology,Wiley Interscience,New York,2001);Berger 和 Kimmel(Guide to Molecular Cloning Techniques,1987,Academic Press,New York);以及 Sambrook 等人,Molecular Cloning:A Laboratory Manual,Cold Spring Harbor Laboratory Press,New York。

[0060] “基本相同”(substantially identical) 意指多肽或核酸分子表现出与参考氨基酸序列(例如,任何一种本文所述的氨基酸序列)或核酸序列(例如,至少一种本文所述的核酸序列)至少 50% 的同一性。优选地,该序列与用于比较的序列在氨基酸水平或核酸水平上是至少 60%,更优选 80% 或 85%,更优选 90%、95% 或甚至 99% 相同的。

[0061] 序列同一性通常采用序列分析软件(例如,Genetics Computer Group 的序列分析软件包,University of Wisconsin Biotechnology Center,1710University Avenue, Madison, Wis. 53705, BLAST, BESTFIT, GAP, 或者 PILEUP/PRETTYBOX 程序)来测定。该软件通过对各种替换、缺失和/或其他修饰分配同源度来匹配一致或相似的序列。保守替换通常包括限于以下组内的替换:甘氨酸、丙氨酸;缬氨酸、异亮氨酸、亮氨酸;天冬氨酸、谷氨酸、天冬酰胺、谷氨酰胺;丝氨酸、苏氨酸;赖氨酸、精氨酸;以及苯丙氨酸、酪氨酸。在测定同一性程度的示例性方法中,可使用 BLAST 程序,概率评分在 e^{-3} 和 e^{-100} 之间表示紧密相关的序列。

- [0062] “类似物”意指具有参考多肽或核酸分子的功能的结构相关的多肽或核酸分子。
- [0063] 本文所用的术语“配体”是指结合到受体上的分子。具体地,该配体结合另一个细胞上的受体,允许细胞-细胞间的识别。
- [0064] 本文所用的术语“组成型表达”是指在所有生理条件下的表达。
- [0065] “疾病”意指损害或干扰细胞、组织或器官正常功能的任何病症或障碍。疾病的实例包括瘤形成和细胞的病原体感染。
- [0066] “有效量”意指足以阻止、减轻或抑制瘤形成的继续增殖、生长或转移(例如,侵占或迁移)的量。
- [0067] “加强的耐受性”意指防止靶向移植器官或组织的自身反应性细胞或免疫应答细胞的活性。
- [0068] “外源性”意指这样的核酸分子或多肽,其并非内源地存在于细胞,或者其存在水平不足以实现当过表达时所达到的功能性作用。术语“外源性”可因此涵盖任何在细胞中表达的重组核酸分子或多肽,如外来的、异源的以及过表达的核酸分子和多肽。
- [0069] “异源的核酸分子或多肽”意指通常不存在于细胞或从细胞中获得的样品中的核酸分子(例如, cDNA、DNA 或 RNA 分子)或者多肽。该核酸可以来自另一生物体,或者其可以是,例如在正常情况下在细胞或样品中不表达的 mRNA 分子。
- [0070] “免疫应答细胞”意指在免疫应答中起作用的细胞、或祖细胞、或其后代。
- [0071] “分离细胞”意指从天然伴随该细胞的分子和/或细胞组分中分离出来的细胞。
- [0072] 术语“分离的”、“纯化的”或“生物学纯的”是指材料在不同程度上不含有在天然状态下可见的通常伴随其的组分。“分离”表示自原始来源或环境的分离程度。“纯化”表示高于分离的分离程度。“纯化的”或“生物学纯的”蛋白质充分免除了其他材料,从而使任何杂质不会实质性地影响蛋白质的生物学性质或引起其他负面结果。即,如果基本上免除了细胞物质、病毒物质、或当以重组 DNA 技术制备时的培养基、或者当化学合成时的化学前体或化学品,则本发明的核酸或肽是纯化的。通常用分析化学技术来确定纯度和同质性,例如聚丙烯酰胺凝胶电泳法或高效液相色谱。术语“纯化的”可表示在凝胶电泳中产生基本上一个条带的核酸或蛋白质。对于可经历修饰例如磷酸化或糖基化的蛋白质,不同的修饰可以产生不同的分离的蛋白质,其可单独进行纯化。
- [0073] 本文所用的术语“肿瘤抗原-结合域”意指能够特异性地结合存在于肿瘤上的特定的抗原决定簇或抗原决定簇集合的结构域。
- [0074] “调节”意指正面的或负面的改变。示例性调节包括 1%、2%、5%、10%、25%、50%、75% 或 100% 的改变。
- [0075] “瘤形成”是指特征在于细胞或组织的病理学增殖以及其随后迁移或侵染至其他组织或器官的疾病。瘤形成的生长通常是不受控制且进行性的,并且在不会引起正常细胞增殖或会导致其中断的条件下发生。瘤形成能够影响多种细胞类型、组织或器官,包括但不限于选自膀胱、骨、脑、乳腺、软骨、神经胶质、食道、输卵管、胆囊、心脏、肠、肾脏、肝脏、肺、淋巴结、神经组织、卵巢、胰腺、前列腺、骨骼肌、皮肤、脊髓、脾、胃、睾丸、胸腺、甲状腺、气管、泌尿生殖道、输尿管、尿道、子宫和阴道的器官,或其组织或细胞类型。瘤形成包括癌症,如肉瘤、癌 (carcinoma) 或浆细胞瘤(浆细胞的恶性肿瘤)。对于本发明可使用的示例性的瘤形成包括但不限于,白血病(例如,急性白血病、急性淋巴细胞性白血病、急性粒

细胞性白血病、急性髓细胞性白血病、急性早幼粒细胞白血病、急性髓单核细胞白血病、急性单核细胞白血病、急性红白血病、慢性白血病、慢性粒细胞性白血病、慢性淋巴细胞性白血病), 真性红细胞增多症, 淋巴瘤 (霍奇金氏病、非霍奇金氏病), Waldenstrom 巨球蛋白血症, 重链病, 以及实体瘤如肉瘤和癌 (例如, 纤维肉瘤、黏液肉瘤、脂肪肉瘤、软骨肉瘤、骨原发性肉瘤、脊索瘤、血管肉瘤、内皮肉瘤、淋巴管肉瘤、淋巴管内皮肉瘤、滑膜瘤、间皮瘤、尤因氏瘤、平滑肌肉瘤、横纹肌肉瘤、结肠癌、胰腺癌、乳腺癌、卵巢癌、前列腺癌、鳞状细胞癌、基底细胞癌、腺癌、汗腺瘤、皮脂腺癌、乳头状癌、乳头状腺癌、囊腺癌、髓样癌、支气管癌、肾细胞癌、肝癌、胆管癌 (bile duct carcinoma)、绒膜癌、精原细胞瘤、胚胎瘤、维耳姆斯瘤 (Wilms' tumor)、宫颈癌、子宫癌、睾丸癌、肺癌、小细胞肺癌、膀胱癌、上皮癌、神经胶质瘤、星形细胞瘤、成神经管细胞瘤、颅咽管瘤、室管膜细胞瘤、松果体瘤、成血管细胞瘤、听神经瘤、少突胶质细胞瘤、神经鞘瘤、脑膜瘤、黑色素瘤、成神经细胞瘤、和视网膜母细胞瘤)。在一个实施方式中, 本发明的筛选方法鉴定可用于治疗乳腺癌或肺癌的组合物。

[0076] “受体”意指存在于细胞膜上的选择性地结合一个或多个配体的多肽或其部分。

[0077] “识别”意指选择性地结合靶标。识别病毒的 T 细胞通常表达与病毒所表达的抗原相结合的受体。

[0078] “病原体”意指能够引起疾病的病毒、细菌、真菌、寄生虫或原生动物。示例性的病毒包括, 但不限于, 逆转录病毒科 (Retroviridae) (如人免疫缺陷病毒, 例如 HIV-1 (还被称之为 HTLV-III、LAV 或 HTLV-III/LAV, 或者 HIV-III; 以及其它分离群, 例如 HIV-LP); 小 RNA 病毒科 (Picornaviridae) (如脊髓灰质炎病毒 (polio viruses)、甲型肝炎病毒 (hepatitis A virus); 肠道病毒 (enteroviruses)、人柯萨奇病毒 (Coxsackie viruses)、鼻病毒 (rhinoviruses)、人肠道孤病毒 (echoviruses)); Calciviridae (如导致肠胃炎的毒株); 披盖病毒科 (Togaviridae) (如马脑炎病毒 (equine encephalitis viruses)、风疹病毒 (rubella viruses)); 黄病毒科 (Flaviridae) (如登革热病毒 (dengue viruses)、脑炎病毒 (encephalitis viruses)、黄热病毒 (yellow fever viruses)); 冠状病毒科 (Coronaviridae) (如冠状病毒 (coronaviruses)); 棒状病毒科 (Rhabdoviridae) (如水疱性口膜炎病毒 (vesicular stomatitis viruses)、狂犬病病毒 (rabies viruses)); 线状病毒科 (Filoviridae) (如欧鲍拉病毒 (ebola viruses)); 副粘病毒科 (Paramyxoviridae) (如副流感病毒 (parainfluenza viruses)、腮腺炎病毒 (mumps virus)、麻疹病毒 (measles virus)、呼吸道合胞病毒 (respiratory syncytial virus)); 正粘病毒科 (Orthomyxoviridae) (如流感病毒 (influenza viruses)); 布尼亚病毒科 (Bunyaviridae) (如汉坦病毒 (Hantaan viruses)、bunga viruses、白蛉病毒 (phleboviruses) 和纳伊罗病毒 (Nairo viruses)); 沙粒病毒科 (Arena viridae) (出血热病毒 (hemorrhagic fever viruses)); 呼肠孤病毒科 (Reoviridae) (如呼肠孤病毒 (reoviruses)、环状病毒 (orbiviruses) 和轮状病毒 (rotaviruses)); 双 RNA 病毒科 (Birnaviridae); 嗜肝病毒科 (Hepadnaviridae) (乙型肝炎病毒 (Hepatitis B virus)); 细小病毒科 (Parvoviridae) (细小病毒 (parvoviruses)); 乳多空病毒科 (Papovaviridae) (乳头瘤病毒 (papilloma viruses)、多瘤病毒 (polyoma viruses)); 腺病毒科 (Adenoviridae) (大多数腺病毒 (adenoviruses)); 疱疹病毒科 (Herpesviridae) (单纯疱疹病毒 (herpes simplex virus) (HSV)) 1 和 2、水痘带状疱疹病毒 (varicella zoster virus)、巨细胞病毒

(cytomegalovirus) (CMV)、疱疹病毒 (herpes virus) ;痘病毒科 (Poxviridae) (天花病毒 (variola viruses)、痘苗病毒 (vaccinia viruses)、痘病毒 (pox viruses)) ;和虹彩病毒科 (Iridoviridae) (如非洲猪瘟病毒 (African swine fever virus)) ;以及未分类病毒 (如丁型肝炎病原体 (被认为是乙型肝炎病毒的缺损随体)、非-A 非-B 肝炎病原体 (1 类=内部传播 ;2 类=肠胃外传播 (即丙型肝炎)) ;诺沃克因子 (Norwalk) 和相关病毒,以及星状病毒 (astroviruses)) 。

[0079] 示例性的细菌包括但不限于,巴氏杆菌属 (*Pasteurella*) 物种、葡萄球菌属 (*Staphylococci*) 物种、链球菌属 (*Streptococcus*) 物种、大肠杆菌 (*Escherichia coli*) 物种、假单胞菌属 (*Pseudomonas*) 物种和沙门氏菌属 (*Salmonella*) 物种。感染菌的具体实例包括但不限于,幽门螺杆菌 (*Helicobacter pylori*)、布氏疏螺旋体 (*Borelia burgdoiferi*)、侵肺军团菌 (*Legionella pneumophila*)、分枝杆菌属菌种 (*Mycobacteria* spp) (例如结核分枝杆菌 (*M. tuberculosis*)、鸟分枝杆菌 (*M. avium*)、胞内分枝杆菌 (*M. intracellulare*)、堪萨斯分枝杆菌 (*M. kansasii*)、戈登分枝杆菌 (*M. goodii*)、金黄色葡萄球菌 (*Staphylococcus aureus*)、淋病奈瑟氏球菌 (*Neisseria gonorrhoeae*)、脑膜炎奈瑟氏球菌 (*Neisseria meningitidis*)、单核细胞增生利斯特氏菌 (*Listeria monocytogenes*)、酿脓链球菌 (*Streptococcus pyogenes*) (A 组链球菌)、无乳链球菌 (*Streptococcus agalactiae*) (B 组链球菌)、链球菌属 (*Streptococcus*) (viridans 组)、粪链球菌 (*Streptococcus faecalis*)、牛链球菌 (*Streptococcus bovis*)、链球菌属 (*Streptococcus*) (厌氧种)、肺炎链球菌 (*Streptococcus pneumoniae*)、致病性弯曲杆菌属物种 (*Campylobacter* sp.)、肠球菌属 (*Enterococcus* sp.)、流感嗜血杆菌 (*Haemophilus influenzae*)、炭疽杆菌 (*Bacillus anthracis*)、白喉棒杆菌 (*Corynebacterium diphtheriae*)、棒状杆菌属菌种 (*Corynebacterium* sp.)、猪红斑丹毒丝菌 (*Erysipelothrix rhusiopathiae*)、产气荚膜梭菌 (*Clostridium perfringens*)、破伤风梭菌 (*Clostridium tetani*)、产气肠杆菌 (*Enterobacter aerogenes*)、肺炎克雷伯氏菌 (*Klebsiella pneumoniae*)、多杀巴斯德氏菌 (*Pasteurella multocida*)、拟杆菌属 (*Bacteroides* sp.)、具核梭杆菌 (*Fusobacterium nucleatum*)、念珠状链杆菌 (*Streptobacillus moniliformis*)、苍白密螺旋体 (*Treponema pallidum*)、极细密螺旋体 (*Treponema pertenuis*)、钩端螺旋体属 (*Leptospira*)、立克次氏体属 (*Rickettsia*) 和衣氏放线菌 (*Actinomyces israelii*) 。

[0080] “特异性结合”意指多肽或其片段识别和结合所关注的多肽,但其基本上不识别和结合样品 (例如天然地包括本发明的多肽的生物学样品) 中的其他分子。

[0081] 本文所用“肿瘤抗原”意指由能够诱导免疫应答的肿瘤所表达的任何多肽。

[0082] “病毒抗原”意指由能够诱导免疫应答的病毒所表达的多肽。

[0083] 术语“包含有”、“包含”意在具备美国专利法中赋予其的广泛含义并且能够表示“包括有”、“包括”等等。

[0084] 如本文所用的“治疗”是指在改变受治疗的个体或细胞的病程的尝试中的临床干预,并且可以出于预防或在临床病理学的过程中实施。治疗的疗效包括而限于,预防疾病的发生或复发、症状的减轻、疾病的任何直接或间接病理学结果的减少、预防转移、降低疾病的进展速度、疾病状态的改善或减轻、以及缓解或改善的预后。通过预防疾病或障碍的

进展,治疗既可以预防受感染或诊断的受试者中或者疑似具有该障碍的受试者中的障碍恶化,而且治疗还可以预防处于障碍风险的受试者中或疑似具有该障碍的受试者中的障碍或该障碍症状的发作。

[0085] 本文所用的术语“受试者”是指脊椎动物,优选哺乳动物,更优选人类。

[0086] 本文所用的术语“免疫低下”是指具有免疫缺陷的受试者。此受试者极易受机会感染攻击,机会感染这种由生物体引起的感染在具有健康免疫系统的人中通常不引起疾病,但能够感染具有欠佳功能或抑制免疫系统的人。

[0087] 本发明的其他方面在下面的公开内容中进行描述并在本发明的范围之内。

[0088] 本发明总体提供细胞,包括表达至少抗原识别受体(例如 TCR 或 CAR)和嵌合共刺激受体(CCR)的组合的基因修饰免疫应答细胞(例如 T 细胞、自然杀伤(NK)细胞、细胞毒性 T 淋巴细胞(CTL)),以及使用其治疗其中需要抗原特异性免疫应答增加的瘤形成和其他病理学的方法。本发明基于,至少部分基于以下发现:通过抗原识别受体和嵌合共刺激受体引起的由肿瘤细胞共表达的两种抗原的同时介入可用于激活和刺激免疫反应细胞而没有全身性作用。具体而言,针对表达单独任一抗原的组织反应性优选被最小化,在两种抗原均存在而不是单独一种存在下引发 T 细胞的激活。T 细胞激活由靶向抗原(例如, CD19 或前列腺干细胞抗原 PSCA)的 TCR 或 CAR 介导。共刺激独立地由靶向第二抗原(例如,前列腺特异性膜抗原,PSMA)的“嵌合共刺激受体”(CCR) 12, 13 而介导。该方法实现了针对双抗原阳性(DP)肿瘤的增加反应性,但对单抗原阳性(SP)肿瘤不会发挥增强活性。已经发现能够使肿瘤感应 T 细胞区分 DP 肿瘤和 SP 肿瘤,其通过将 T 细胞活性削弱至其自身不能实现 T 细胞激活、但在肿瘤部位通过 CCR 与独立的共表达抗原结合而挽救其功能的水平。这种方法提供了肿瘤微环境内的免疫原性用于肿瘤根除,同时不影响正常或非瘤形成的 SP 细胞,并且相对于传统采纳的 T 细胞疗法显示出显著进步。

[0089] 此外,该方法不局限于对瘤形成的治疗,而是可适用于需要增加的抗原特异性免疫应答的广泛应用,该应用不仅包括瘤形成的治疗,而且包括用于增强针对病原体感染或传染性疾病的免疫应答以及在自体免疫或同种异体移植的环境下增强调节性 T 细胞中的免疫耐受性。

[0090] 造血细胞谱系

[0091] 哺乳动物的造血(血)细胞提供了广泛的生理活性。造血细胞分为淋巴系、髓系和红细胞系。淋巴系包括 B 细胞、T 细胞和天然杀伤(NK)细胞,用于产生抗体、调节细胞免疫系统、检测血液中的外来物质、检测对于主体为外来的细胞等等。本文所用的术语“T 细胞”是指在胸腺中成熟的且主要负责细胞介导的免疫力的淋巴细胞。T 细胞参与到适应性免疫系统中。本文所用的术语“天然杀伤(NK)细胞”是指作为细胞介导的免疫力的部分并在先天免疫反应中发挥作用的淋巴细胞。它们不需要事先激活以实现其对靶细胞的细胞毒性作用。细胞毒性 T 细胞(CTL 或杀伤 T 细胞)是能够引起受感染体细胞或肿瘤细胞的死亡的 T 淋巴细胞的集合。

[0092] 用于本发明的方法的细胞

[0093] 本发明提供表达抗原识别受体(其激活免疫应答细胞(例如, TCR、CAR))和嵌合共刺激受体(CCR)的组合的细胞,以及使用这样的细胞用于治疗需要增强的免疫应答的疾病的方法。在一个方法中,肿瘤抗原特异性 T 细胞、NK 细胞、CTL 细胞或其他免疫应答细胞

被用作选择性地富集一种或多种共刺激配体用于治疗或预防瘤形成的穿梭体 (shuttles)。例如, T 细胞表达的识别 CD19 的嵌合抗原受体 19z1 在表达识别并结合前列腺特异性膜抗原 (PSMA) 的嵌合共刺激受体 P28BB 的 T 细胞中被共表达。这些细胞被施用于对前列腺癌治疗或预防有需要的人类受试者。在另一个方法中, 可使用病毒抗原特异性 T 细胞、NK 细胞、CTL 细胞用于病毒疾病的治疗。例如, 识别第一 CMV 抗原的嵌合共刺激抗原受体和识别并结合第二 CMV 抗原的嵌合抗原受体在细胞毒性 T 淋巴细胞中被共表达以治疗 CMV。

[0094] 肿瘤抗原特异性 T 淋巴细胞 (和 NK 细胞)

[0095] 可用于本发明方法中的肿瘤抗原特异性人类淋巴细胞的类型包括但不限于, 经基因修饰以表达嵌合抗原受体 (CAR) 的外周供体淋巴细胞 (Sadelain, M. 等人 . 2003 Nat Rev Cancer 3:35-45), 经基因修饰以表达全长肿瘤抗原识别 T 细胞受体复合物 (包括 α 和 β 异质二聚体) 的外周供体淋巴细胞 (Morgan, R. A. 等人 . 2006 Science 314:126-129), 衍生自肿瘤活检中的肿瘤浸润淋巴细胞 (TIL) 的淋巴细胞培养物 (Panelli, M. C. 等人 . 2000 J Immunol 164:495-504; Panelli, M. C. 等人 . 2000 J Immunol 164:4382-4392), 以及采用人工抗原呈递细胞 (AAPC) 或致敏树突状细胞的选择性体外扩张的抗原特异性外周血白细胞 (Dupont, J. 等人 . 2005 Cancer Res 65:5417-5427; Papanicolaou, G. A. 等人 . 2003 Blood 102:2498-2505)。T 细胞可以是自体的、异体的或体外衍生自工程设计的祖细胞或干细胞。

[0096] 任何合适的肿瘤抗原 (抗原肽) 可适用于本文所述的肿瘤相关的实施方式中。抗原来源包括, 但不限于癌症蛋白质。抗原可以作为肽或作为完整的蛋白质或其部分表达。完整蛋白质或其部分可以是内生的或经诱变的。合适的抗原包括前列腺特异性膜抗原 (PSMA) 和前列腺干细胞抗原 (PCSA)。

[0097] 病毒抗原特异性 T 淋巴细胞 (和 NK 细胞)

[0098] 用于治疗病原体感染或其他传染性疾病的合适的抗原, 例如在免疫低下的受试者中, 包括但不限于, 存在于巨细胞病毒 (CMV)、Epstein Barr 病毒 (EBV)、人类免疫缺陷病毒 (HIV) 以及流感病毒中的病毒抗原。

[0099] 未纯化的 CTL 来源可以是任何本领域已知的, 如骨髓、胚胎、新生儿或成人或其他造血细胞来源, 例如, 胎肝、外周血或脐带血。可采用多种技术来分离细胞。例如, 负筛选方法可以初步去除非 CTL 细胞。mAb 对于鉴定正筛选和负筛选区分用的与特定细胞谱系和 / 或细胞期相关联的标志物特别有用。

[0100] 可通过相对粗简的分离而除去大部分的终末分化细胞。例如, 初始可利用磁珠分离以除去大量不相关细胞。优选地, 在细胞分离之前将除去至少约 80%, 通常至少 70% 的总的造血细胞。

[0101] 用于分离的程序包括但不限于, 密度梯度离心法; 重设法 (resetting); 与改变细胞密度的粒子结合; 用抗体包裹的磁珠的磁选法; 亲和色谱法; 与 mAb 结合或与 mAb 共同使用的细胞毒性试剂 (包括但不限于补体和细胞毒素); 以及用附着在固体基质上的抗体淘选, 例如铺板、切削 (chip)、淘析或任何其他常规技术。

[0102] 用于分离和分析的技术包括但不限于流式细胞术, 其可具有不同的复杂程度 (sophistication), 例如多个色道、低角度和钝光散射检测通道、阻抗通道。

[0103] 可以通过采用与死亡细胞相关联的染料如碘化丙啶 (PI), 从死亡细胞中选择细胞。优选地, 细胞被收集在包含 2% 胎牛血清 (FCS) 或 0.2% 牛血清白蛋白 (BSA) 的介质中

或任何其他合适的优选无菌等渗的介质中。

[0104] 因此,本发明总体提供免疫应答细胞例如病毒特异性或肿瘤特异性 T 细胞,其包括与第一抗原结合并激活免疫应答细胞的受体以及与第二抗原结合并刺激免疫应答细胞的受体。

[0105] 载体

[0106] 可通过用重组 DNA 构建体转导基本上同源的细胞组成而实现免疫应答细胞的基因修饰(例如 T 细胞、CTL 细胞、NK 细胞)。优选地,使用逆转录病毒载体(γ 逆转录病毒或慢病毒)将 DNA 构建体引入到细胞中。例如,可将编码与抗原(例如肿瘤抗原、或其变体、或片段)结合的受体的多核苷酸克隆到逆转录病毒载体中,并且可从其内源启动子、从逆转录病毒长末端重复、或从所关注靶细胞类型特异性的启动子驱动其表达。也可以使用非病毒载体。

[0107] 对于为提供肿瘤或病毒抗原特异性细胞的初始细胞基因修饰,一般采用逆转录病毒载体用于转导,然而也可使用任何其他合适的病毒载体或非病毒的递送体系。对于为提供含有抗原呈递复合物(其包含至少两种共刺激配体)的细胞的后续细胞基因修饰,逆转录病毒基因传递(转导)同样证明是有效的。逆转录病毒载体和合适的包装系的组合也是合适的,其中衣壳蛋白对于感染人类细胞将是有益的。已知多种产生双嗜性病毒的细胞系,包括但不限于,PA12(Miller 等人(1985)Mol. Cell. Biol. 5:431-437);PA317(Miller 等人(1986)Mol. Cell. Biol. 6:2895-2902);以及 CRIP(Danos 等人(1988)Proc. Natl. Acad. Sci. USA85:6460-6464)。非双嗜性颗粒也是合适的,例如具有 VSVG、RD114 或 GALV 包封的假型颗粒和任何其他本领域已知的那些。

[0108] 可行的转导方法还包括将细胞与制造细胞直接共培养,例如通过 Bregni 等人(1992)Blood 80:1418-1422 的方法,或者与单独的病毒上清液或浓缩的载体储液(有或没有合适的生长因子及聚阳离子)一起培养,例如通过 Xu 等人(1994)Exp. Hemat. 22:223-230;以及 Hughes 等人(1992)J. Clin. Invest. 89:1817 的方法。

[0109] 可使用其他转导病毒载体在免疫应答细胞中表达本发明的共刺激配体。优选地,选择的载体显示出高效的感染以及稳定的整合和表达(参见例如 Cayouette 等人,Human Gene Therapy 8:423-430,1997;Kido 等人,Current Eye Research 15:833-844,1996;Bloomer 等人,Journal of Virology 71:6641-6649,1997;Naldini 等人,Science 272:263-267,1996;和 Miyoshi 等人,Proc. Natl. Acad. Sci. U. S. A. 94:10319,1997)。可使用的其它病毒载体包括,例如腺病毒、慢病毒、和腺相关病毒载体、牛痘病毒、牛乳头状瘤病毒或者疱疹病毒,如 Epstein-Barr 病毒(还参见,例如 the vectors of Miller,Human Gene Therapy 15-14,1990;Friedman,Science 244:1275-1281,1989;Eglitis 等人,BioTechniques 6:608-614,1988;Tolstoshev 等人,Current Opinion in Biotechnology 1:55-61,1990;Sharp,The Lancet 337:1277-1278,1991;Cornetta 等人,Nucleic Acid Research and Molecular Biology 36:311-322,1987;Anderson,Science 226:401-409,1984;Moen,Blood Cells 17:407-416,1991;Miller 等人,Biotechnology 7:980-990,1989;Le Gal La Salle 等人,Science 259:988-990,1993;和 Johnson,Chest 107:77S-83S,1995)。逆转录病毒载体已被特别好地开发并已用于临床环境(Rosenberg 等人,N. Engl. J. Med 323:370,1990;Anderson 等人,美国专利号 5,399,346)。

[0110] 也可采用非病毒方法用于在细胞中表达蛋白质。例如,可通过在脂质体转染的存在下施用核酸将核酸分子引入到细胞中(Feigner 等人, Proc. Natl. Acad. Sci. U. S. A. 84:7413, 1987; Ono 等人, Neuroscience Letters 17:259, 1990; Brigham 等人, Am. J. Med. Sci. 298:278, 1989; Staubinger 等人, Methods in Enzymology 101:512, 1983), 脱唾液酸血清类粘蛋白-聚赖氨酸结合(Wu 等人, Journal of Biological Chemistry 263:14621, 1988; Wu 等人, Journal of Biological Chemistry 264:16985, 1989), 或者通过手术环境下的微注射(Wolff 等人, Science 247:1465, 1990)。

[0111] 其他用于基因传递的非病毒方法包括使用磷酸钙、DEAE 葡聚糖、电穿孔和原生质体融合在体外的转染。脂质体也可能潜在地有益于对将 DNA 输送进细胞。也可以通过将正常核酸转移到可离体(ex vivo) 培养的细胞类型(例如, 自体或异源的原代细胞或其后代) 中, 之后将细胞(或其子代) 注射到目标组织或全身注射, 来实现正常基因植入受试者的感染组织中。也可使用转座酶或靶核酸酶(例如, 锌指核酸酶、兆核酸酶、或 TALE 核酸酶) 衍生或得到重组受体。可以通过 RNA 电穿孔实现瞬时表达。可以由任何合适的启动子(例如, 人类巨细胞病毒(CMV)、猿猴病毒 40(SV40) 或金属硫蛋白启动子) 指导用于多核苷酸疗法的 cDNA 表达, 并通过任何合适的哺乳动物调控元素或内含子(例如, 延伸因子 1c 增强子/启动子/内含子结构) 进行调控。例如, 如果需要, 可使用已知在特定细胞类型中优先指导基因表达的增强子来指导核酸的表达。使用的增强子可包括, 但不限于, 那些以组织或细胞特异性为特征的增强子。或者, 如果使用基因组克隆作为治疗构建体, 可通过同族调节序列来介导调节, 或者如果需要, 通过衍生自异源来源的调节序列包括上述的任何启动子或调控序列来介导调节。

[0112] 然后可在与未经修饰的细胞的条件相似的培养条件下培养所产生的细胞, 其中经修饰的细胞可被扩增并用于多种用途。

[0113] 还包括在本发明中的是, 以当在免疫应答细胞中表达时增强其抗癌形成的活性的方式被修饰的 19z1、CD19、CD8、CD3、dsRed、P28BB、PSMA、CD28、4-1BB、GFP 多肽或其片段。本发明提供通过在序列中产生变化来优化氨基酸序列或核酸序列的方法。该变化可以包括某些突变、缺失、插入或翻译后修饰。本发明进一步包括本发明任何天然存在的多肽的类似物。类似物可以以氨基酸序列差异、通过翻译后修饰或通过二者而与本发明的天然存在的多肽不同。本发明的类似物通常将与本发明的天然存在的氨基酸序列的全部或部分表现出至少 85%、90%、91%、92%、93%、94%、95%、96%、97%、98%、99% 或更多的同一性。序列比较的长度是至少 5、10、15 或 20 个氨基酸残基, 优选至少 25、50 或 75 个氨基酸残基, 以及更优选多于 100 个氨基酸残基。此外, 在测定同一性程度的示例性方法中, 可使用 BLAST 程序, 概率评分在 e^3 和 e^{-100} 之间表示紧密相关的序列。修饰包括体内和体外对多肽的化学衍生, 例如, 乙酰化、羧基化、磷酸化、或糖基化; 这些修饰可以在多肽合成或加工过程中或者在用分离的修饰酶处理之后发生。类似物还可以以一级序列中的变化而与本发明的天然存在的多肽不同。这些包括遗传变异, 天然和诱导的均包括(例如, 因辐射或暴露于乙烷甲基硫酸盐(ethanemethylsulfate) 而引起的随机诱变, 或通过记载于 Sambrook, Fritsch and Maniatis, Molecular Cloning: A Laboratory Manual (2d ed.), CSH Press, 1989 或者 Ausubel 等人(同上文) 的位点特异性诱变)。还包括的是包含除 L-氨基酸之外的残基的环状肽、分子和类似物, 例如 D-氨基酸或非天然存在的或合成的氨基酸, 例如, - 或 - 氨基

酸。

[0114] 除全长多肽之外,本发明还提供本发明的任一多肽或肽结构域的片段。如本文所用的术语“片段”意指至少 5、10、13 或 15 个氨基酸。在其他实施方式中,片段为至少 20 个连续的氨基酸,至少 30 个连续的氨基酸,或至少 50 个连续的氨基酸,在其他的实施方式中为至少 60-80、100、200、300 或更多个连续的氨基酸。本发明的片段可以通过本领域技术人员已知的方法产生或者得自正常的蛋白质加工(例如,从新生多肽中去除生物活性不需要的氨基酸,或者通过可选的 mRNA 剪切或可选的蛋白质加工事件而去除氨基酸)。

[0115] 非蛋白质类似物具有被设计为模拟本发明蛋白质的功能活性的化学结构。这样的类似物按照本发明的方法进行施用。这样的类似物可超越原始多肽的生理活性。类似物设计的方法是本领域熟知的,并且类似物的合成可以通过修饰化学结构根据这些方法进行,从而使得得到的类似物在免疫应答细胞中表达时,原始多肽的抗癌形成活性得以增加。这些化学修饰包括,但不限于,取代参照多肽的特定碳原子上的可选 R 基团和改变饱和度。优选地,蛋白质类似物对体内降解是相对耐受的,导致施用时更为延长的治疗效果。用于测定功能活性的测定法包括但不限于下面实施例所述的那些。

[0116] 共刺激配体

[0117] 与至少一种共刺激配体的相互作用提供对于免疫细胞(例如 T 细胞)的充分激活重要的非抗原特异性信号。共刺激配体包括,但不限于,肿瘤坏死因子(TNF)配体、细胞因子(如 IL-1、IL-12、IL-15 或 IL-21),以及免疫球蛋白(Ig)超家族配体。

[0118] 肿瘤坏死因子(TNF)是参与全身炎症并刺激急性期反应(acute phase reaction)的细胞因子。其主要作用是调节免疫细胞。肿瘤坏死因子(TNF)配体享有一些共同的特征。多数配体被合成为包含短的胞质区段和相对长的细胞外区域的 II 型跨膜蛋白质(细胞外 C 末端)。TNF 配体包括,但不限于,神经生长因子(NGF)、CD40L(CD40L)/CD154、CD137L/4-1BBL、肿瘤坏死因子 α (TNF α)、CD134L/OX40L/CD252、CD27L/CD70、Fas 配体(FasL)、CD30L/CD153、肿瘤坏死因子 β (TNF(3))/淋巴毒素 α (LT α)、淋巴毒素 β (ur(3)), CD257/B 细胞激活因子(BAFF)/Blys/THANK/Ta11-1、糖皮质激素诱导的 TNF 受体配体(GITRL),以及 TNF 相关的凋亡诱导配体(TRAIL)、LIGHT(TNFSF14)。免疫球蛋白(Ig)超家族是一大组参与细胞的识别、结合或粘附过程的细胞表面可溶性蛋白质。这些蛋白质共有免疫球蛋白的结构特征——它们具备免疫球蛋白结构域(折叠)。免疫球蛋白超家族配体包括,但不限于,CD80 和 CD86,都是 CD28 的配体。

[0119] 包含本发明的基因修饰免疫应答细胞(例如, T 细胞、NK 细胞、CTL 细胞或其祖细胞)的组合物能够被全身性或直接地提供给受试者以治疗瘤形成、病原体感染或者传染性疾病。在一个实施方式中,本发明的细胞被直接注射到目标器官(例如,受瘤形成影响的器官)中。或者,含有基因修饰免疫应答细胞的组合物被间接提供给目标器官,例如,通过施用到循环系统(例如,肿瘤血管)中。可以在细胞施用之前、之中或之后提供扩增剂和分化剂以增加 T 细胞、NK 细胞或 CTL 细胞在体外或体内的产生。

[0120] 修饰的细胞可以在任何生理学可接受的载体中被施用,通常是血管内方式,但是其也可以被引入至骨或其他便利的部位,其中细胞可以找到再生和分化的合适(例如,胸腺)部位。通常,将施用至少 1×10^5 个细胞,最终达到 1×10^{10} , 或更多。本发明的基因修饰免疫应答细胞可包括纯化的细胞群。本领域技术人员可以使用多种已知方法容易地确定群

体中基因修饰免疫应答细胞的百分比,如荧光激活细胞分选 (FACS)。群体中包含基因修饰免疫应答细胞的纯度的优选范围是约 50%至约 55%,约 55%至约 60%,以及约 65%至约 70%。更优选纯度为约 70%至约 75%,约 75%至约 80%,约 80%至约 85%;还更优选纯度为约 85%至约 90%,约 90%至约 95%,和约 95%至约 100%。本领域技术人员可容易地调整剂量(例如纯度低可能需要剂量增加)。可通过注射、导管等而引入细胞。如果需要,还可包括因子,包括但不限于,白介素例如 IL-2、IL-3、IL-6 和 IL-11 以及其他白介素,集落刺激因子如 G-、M- 和 GM-CSF,干扰素例如 γ -干扰素,以及红细胞生成素。

[0121] 本发明的组合物包括药物组合物,其包括基因修饰的免疫应答细胞或其祖细胞以及药学上可接受的载体。施用可以是自体或者是异源的。例如,免疫应答细胞或祖细胞可以获自一个受试者,并施用至同一受试者或者不同的相容的受试者。本发明的外周血衍生的免疫应答细胞或其子代(例如,体内、离体或体外衍生的)可通过局部注射而施用,包括导管给药、系统性注射、局部注射、静脉注射或者肠胃外给药。当施用本发明的治疗组合物(例如,包含基因修饰免疫应答细胞的药物组合物)时,其通常会以单位剂量可注射的形式进行配制(溶液、悬浮液、乳液)。

[0122] 配方

[0123] 包含基因修饰免疫应答细胞的本发明组合物可以以无菌液体制剂被方便地提供,例如,等渗水溶液、悬浮液、乳液、分散剂或粘性组合物,其可以被缓冲至选定的 pH。液体制剂通常比凝胶、其他粘性组合物以及固体组合物更易制备。此外,液体组合物某种程度上更易于施用,特别是通过注射。粘性组合物在另一方面可以在合适的粘度范围内配制以提供与特定组织更长的接触时间。液体或粘性组合物可包括载体,其可以是溶剂或分散介质包含例如水、生理盐水、磷酸盐缓冲盐水、多元醇(例如,甘油、丙二醇、液体聚乙二醇等等)及其合适的混合物。

[0124] 可通过将用于实施本发明的基因修饰免疫应答细胞引入所需量的合适溶剂,按需使用多种量的其他组分,而制备无菌注射液。这样的组合物可以与合适的载体、稀释剂、或赋形剂如无菌水、生理盐水、葡萄糖、右旋糖等混合。组合物还可被冻干。组合物可包含辅助物质如润湿剂、分散剂、或乳化剂(例如,甲基纤维素)、pH 缓冲剂、凝胶或粘度增强添加剂、防腐剂、矫味剂、颜料等等,取决于施用的途径和所需的制剂。标准文本,如“REMINGTON'S PHARMACEUTICAL SCIENCE”,第 17 版,1985,引入本文作为参考,可以被用于查阅以制备合适的制剂而无需过度的实验。

[0125] 可添加增强组合物稳定性和无菌性的多种添加剂,包括抗微生物防腐剂、抗氧化剂、螯合剂以及缓冲剂。可通过多种抗菌剂和抗真菌剂确保对微生物作用的抑制,例如,对羟基苯甲酸酯(paraben)、氯丁醇、苯酚、山梨酸等等。可注射药物形式的延长吸收可通过延迟吸收剂的使用实现,例如,单硬脂酸铝和明胶。然而,根据本发明,使用的任何媒介(vehicle)、稀释剂或添加剂必须要与基因修饰免疫应答细胞或其祖细胞相容。

[0126] 组合物可以是等渗的,即,其可以具有与血液或泪液相同的渗透压。本发明组合物所需的等渗性可以使用氯化钠或其他药学上可接受的试剂如右旋糖、硼酸、酒石酸钠、丙二醇或其他无机或有机溶质达到。氯化钠对于含有钠离子的缓冲液是特别优选的。

[0127] 如果需要,可使用药学上可接受的增稠剂使组合物的粘度保持在选定的水平。甲基纤维素是优选的因为其易得且经济可行,并且易于工作。其他合适的增稠剂包括,例如,

黄原胶、羧甲基纤维素、羟丙基纤维素、卡波姆等等。优选的增稠剂浓度将取决于所选的试剂。重点是使用会达到选定粘度的量。显然，合适的载体和其他添加剂的选择将取决于确切的施用途径以及特定剂型的性质，例如，液体剂型（例如，组合物是否被配制成溶液、悬浮液、凝胶或其他液体形式，如延时释放（time release）形式或液体填充形式）。

[0128] 本领域技术人员将认识到组合物的组分应当被选为化学惰性且不会影响如本发明所述的基因修饰免疫应答细胞的活性（viability）或有效性。这对技术人员在化学和药学原理上来说不存在问题，或者问题可通过参考标准文本或根据本公开及本文引用的文献通过简单的实验来避免（不涉及过度的实验）。关于本发明的基因修饰免疫应答细胞的治疗应用的一个考虑是达到最优效果所需的细胞量。施用的细胞量会随着被治疗的受试者而变化。在一个实施方式中， 10^4 至 10^{10} 之间、 10^5 至 10^9 之间或 10^6 至 10^8 之间的本发明的基因修饰免疫应答细胞被施用于人类受试者。更有效的细胞可以甚至更少的数量进行施用。在一些实施方式中，至少约 1×10^8 、 2×10^8 、 3×10^8 、 4×10^8 和 5×10^8 的本发明的基因修饰免疫应答细胞被施用于人类受试者中。考虑多少是有效剂量的精确判定可以基于个别到每个受试者的因素，包括他们的尺码（size）、年龄、性别、重量和特定受试者的症状。本领域技术人员可从本公开和本领域的知识容易地确定剂量。

[0129] 技术人员可容易地确定组合物中以及在本发明的方法中要施用的细胞和任选的添加剂、媒介和/或载体的量。通常，任何添加剂（活性细胞和/或试剂之外）以0.001%–50%（重量）溶液的量存在于磷酸盐缓冲盐水中，并且活性成分以微克到毫克的量级存在，如约0.0001%–约5wt%，优选约0.0001%–约1wt%，还更优选约0.0001%–约0.05wt%或约0.001%–约20wt%，优选约0.01%–约10wt%，还更优选约0.05%–约5wt%。当然，对于施用于动物或人类的任何组合物，以及任何具体的施用方法，因此优选确定：毒性，如通过测定在合适的动物模型例如啮齿动物如小鼠中的致死剂量（LD）和LD50；以及引起适当响应的组合物剂量、其中的组分浓度以及施用组合物的时机。这样的测定根据技术人员的知识、本公开内容和本文引用的文献来说不需要过度的实验。并且，顺序给药的时机可在无需过度实验下加以确定。

[0130] 治疗方法

[0131] 本文提供治疗受试者中的瘤形成的方法。本文还考虑了治疗受试者中的病原体感染或其他传染性疾病的方法，受试者例如免疫低下的人类受试者。该方法包括以有效实现期望效果（现有症状的缓解或防止复发）的量施用本发明的T细胞、NK细胞或CTL细胞。对于治疗，施用量是有效产生所需效果的量。可以在一次或一系列的施用中被提供有效量。有效量可以以大丸剂或通过连续灌注而提供。

[0132] “有效量”（或“治疗有效量”）是在通过治疗足以引起有益或期望临床结果的量。有效量可以以一个或多个剂量提供给受试者。对治疗而言，有效量是足以缓解、减轻、稳定、逆转或减慢疾病进展或以其他方式减少疾病的病理学结果的量。有效量通常由医生就具体案例确定且在本领域技术人员的能力范围内。在确定达到有效量的合适剂量时通常考虑多种因素。这些因素包括受试者的年龄、性别和重量，被治疗的症状，症状的严重程度以及所施用的抗原结合片段的形式和有效浓度。

[0133] 对于使用抗原特异性T细胞的过继性免疫疗法，通常注入 10^6 – 10^{10} 范围内（例如 10^9 ）的细胞剂量。当基因修饰细胞被施用到主体并随后分化时，T细胞被诱导为特异性地针对

对特定抗原。T 细胞的“诱导”可包括抗原特异性 T 细胞如通过缺失或失能而引起的失活。失活对于例如在自身免疫疾病中建立或重建耐受性特别有用。修饰的细胞可通过任何本领域已知的方法被施用,包括但不限于,静脉注射、皮下、结节内 (intranodal)、瘤内、鞘内、胸膜内、腹膜内和直接到胸腺。

[0134] 本发明提供用于增加有需要的受试者中的免疫应答的方法。在一个实施方式中,本发明提供治疗或预防受试者中的瘤形成的方法。本发明提供对治疗患有前列腺癌或传统治疗干预无用的转移性前列腺癌的受试者特别有用的疗法。对于疗法合适的人类受试者通常包括两个治疗组,其能通过临床标准加以区分。具有“晚期疾病 (advanced disease)”或“高荷瘤 (high tumor burden)”的病人为那些具有临床上可检测到肿瘤的病人。临床上可检测到的肿瘤为可基于肿瘤质量而检测到的肿瘤 (例如,通过触诊、CAT 扫描、声波图、乳房 X 线影像或 X 射线;其本身上的阳性生化或组织病理学标志物不足以鉴定该人群)。本发明中具体化的药物组合物被施用至这些受试者以引发抗肿瘤反应,目的是减轻他们的症状。理想的结果为肿瘤质量减小,但是任何临床改善也是有益的。临床改善包括肿瘤的风险或进展速率降低或病理学结果减少。

[0135] 第二组合适的受试者在领域内称为“辅助组”。他们是具有瘤形成病史但对其它治疗方式产生应答的个体。以前的治疗可以包括但不限于,手术切除、放疗以及传统的化疗。结果,这些个体没有临床上可检测到的肿瘤。然而,他们被怀疑在靠近原发肿瘤位点或通过转移具有疾病进展的风险。辅助组可以进一步分为高风险和低风险个体。此划分是根据开始治疗之前和之后观察到的特征加以确定。这些特征在临床上是已知的并且对于每种不同的瘤形成而适当地加以定义。具有高风险亚组的典型特征为其中的肿瘤侵入邻近的组织或者显示有淋巴结参与。

[0136] 另一组对瘤形成具有遗传易感性但尚未显现瘤形成的临床症状。例如,对于与乳腺癌相关联的遗传突变测试呈阳性、但仍处于育龄的妇女,可希望在预防性治疗中接受一种或多种本文所述的抗原结合片段,以防止瘤形成的发生直到适于实施预防性手术。

[0137] 具有任何以下的瘤形成的人类瘤形成受试者是特别合适的受试者:成胶质细胞瘤、黑色素瘤、成神经细胞瘤、腺癌、神经胶质瘤、软组织肉瘤以及多种癌 (包括前列腺癌和小细胞肺癌)。合适的癌症进一步包括任何肿瘤学领域已知的,包括但不限于,星形细胞瘤、纤维肉瘤、粘液肉瘤、脂肪肉瘤、少突神经胶质瘤、室管膜瘤、成神经管细胞瘤、原发性神经外胚层肿瘤 (PNET)、软骨肉瘤、骨源性肉瘤、胰腺导管腺癌、小细胞和大细胞肺腺癌、脊索瘤、血管肉瘤、内皮肉瘤、鳞状细胞癌、支气管肺泡癌、上皮腺癌、以及它们的肝转移、淋巴管肉瘤、淋巴管内皮肉瘤、肝细胞瘤、胆管癌、滑膜瘤、间皮瘤、尤因氏瘤、横纹肌肉瘤、结肠癌、基底细胞癌、汗腺癌、乳头状癌、皮脂腺癌、乳头状腺癌、囊腺癌、髓样癌、支气管癌、肾细胞癌、胆管癌、绒毛膜癌、精原细胞瘤、胚胎癌、维耳姆斯瘤、睾丸肿瘤、髓母细胞瘤、颅咽管瘤、室管膜瘤、松果体瘤、成血管细胞瘤、听神经瘤、少突神经胶质瘤、脑脊膜瘤、成神经细胞瘤、视网膜母细胞瘤、白血病、多发性骨髓瘤、Waldenstrom 巨球蛋白血症,以及重链病、乳腺癌如导管腺癌和小叶腺癌、子宫颈鳞状细胞癌和腺癌、子宫和卵巢上皮癌、前列腺腺癌、膀胱的移行鳞状细胞癌、B 细胞和 T 细胞淋巴 (结节状的和扩散状的) 浆细胞瘤、急性和慢性白血病、恶性黑色素瘤、软组织肉瘤和平滑肌肉瘤。

[0138] 受试者可具有疾病晚期形式,在此情况下治疗目的可包括疾病进展的缓解或逆转

和 / 或副作用的改善。受试者可具有患病史,其已经历过治疗,在此情况下治疗目的将通常包括降低或延迟复发风险。

[0139] 因此,本发明提供治疗或预防受试者中的瘤形成的方法,该方法包括施用有效量的免疫应答细胞,该免疫应答细胞包括与肿瘤抗原结合并激活该免疫应答细胞的受体(例如 TCR、CAR),以及编码与另一肿瘤抗原结合并激活该免疫应答细胞的受体的载体。在一个实施方式中,瘤形成选自前列腺癌、乳腺癌、血癌(例如白血病、淋巴瘤和骨髓瘤)、卵巢癌、膀胱癌、脑癌、结肠癌、肠癌、肝癌、肺癌、胰腺癌、前列腺癌、皮肤癌、胃癌、成胶质细胞瘤和喉癌。在另一个实施方式中,肿瘤抗原是以下中的一种或多种:碳酸酐酶 IX(CAIX)、癌胚抗原(CEA)、CD5、CD7、CD10、CD19、CD20、CD22、CD30、CD33、CD34、CD38、CD41、CD44、CD49f、CD56、CD74、CD133、CD138、巨细胞病毒(CMV)感染细胞的抗原(例如细胞表面抗原)、上皮糖蛋白-2(EGP-2)、上皮糖蛋白-40(EGP-40)、上皮细胞黏附分子(EpCAM)、受体酪氨酸-蛋白质激酶 erb-B2、3、4、叶酸结合蛋白(FBP)、胎儿型乙酰胆碱受体(AChR)、叶酸受体-a、神经节苷酯 G2(GD2)、神经节苷酯 G3(GD3)、人表皮生长因子受体 2(HER-2)、人端粒酶逆转录酶(hTERT)、白介素-13 受体 α -2 亚基(IL-13Ra2)、ic-轻链、激酶插入域受体(KDR)、Lewis Y(LeY)、L1 细胞黏附分子(L1CAM)、黑素瘤抗原家族 A, 1(MAGE-A1)、粘蛋白 1(MUC1)、间皮素(MSLN)、NKG2D 配体、睾丸癌抗原 NY-ESO-1、癌胚抗原(h5T4)、前列腺干细胞抗原(PSCA)、前列腺特异性膜抗原(PSMA)、肿瘤相关糖蛋白 72(TAG-72)、血管内皮生长因子 R2(VEGF-R2)、或者维耳姆斯瘤蛋白(WT-1)。

[0140] 由于与肿瘤抗原结合并激活免疫应答细胞的受体(例如 TCR、CAR)和编码与另一肿瘤抗原结合并刺激免疫应答细胞的受体(例如 CCR)的载体的表面表达,过继转移(adoptively transferred)的人类 T 细胞或 NK 细胞被赋予在肿瘤部位增强的选择性的溶细胞活性。进而,在其定位于肿瘤或病毒感染及其增殖之后,表达共刺激配体的 T 细胞将肿瘤或病毒感染部位转变成对参与生理性抗肿瘤或抗病毒反应的广泛的免疫细胞(浸润肿瘤的淋巴细胞、NK-、NKT-细胞、树突状细胞和巨噬细胞)高度传导性的环境。

[0141] 在其他实施方式中,本发明提供治疗病原体感染(例如,病毒感染、细菌感染、真菌感染、寄生虫感染、或原生动感染)的受试者的方法。本发明对于在免疫低下的受试者中增强免疫应答特别有用。对使用本发明方法进行的治疗易感的示例性病毒感染包括,但不限于,巨细胞病毒(CMV)、Epstein Barr 病毒(EBV)、人类免疫缺陷病毒(HIV)以及流感病毒感染。

[0142] 因此,本发明提供在受试者中治疗或预防病原体感染的方法,该方法包括施用有效量的如本文所述的免疫应答细胞。

[0143] 试剂盒

[0144] 本发明提供用于治疗或预防瘤形成、病原体感染、免疫障碍或同种异体移植的试剂盒。在一个实施方式中,该试剂盒包括单位剂型的包含有效量免疫应答细胞的治疗或预防性组合物,免疫应答细胞包含激活性抗原受体和共刺激抗原受体。在具体的实施方式中,细胞进一步包括共刺激配体。在一些实施方式中,试剂盒包括无菌容器,其包含治疗或预防疫苗;该容器可是盒子、安瓿、瓶、小瓶、管、袋、小袋(pouch)、泡罩包装、或本领域已知的其他合适的容器形式。这些容器可用塑料、玻璃、层压纸、金属箔、或其他适用于容纳药物的材料制造。

[0145] 如果需要,免疫应答细胞与将细胞施用于受试者的说明书共同提供,所述受试者具有瘤形成发展、病原体感染、免疫障碍或同种异体移植或处于这样的风险中。该说明书将通常包括关于使用组合物来治疗或预防瘤形成、病原体感染、免疫障碍或同种异体移植的信息。在其他实施方式中,说明书包括以下中的至少一种:治疗剂的说明;用于治疗或预防瘤形成、病原体感染、免疫障碍或同种异体移植或其症状的用药方案和实施;预防措施;警告;适应症;禁忌症(counter-indications);过剂量信息;副作用;动物药理学;临床研究;和/或参考。说明书可以直接印在容器上(如果存在),或者作为标签贴在容器上,或者作为容器内或与容器一起的单独的纸片、小册子、卡片或硬纸夹被提供。

[0146] 实施例

[0147] 除非另有说明,本发明的实践运用分子生物学(包括重组技术)、微生物学、细胞生物学、生物化学和免疫学的常规技术,其在本领域技术人员的范围之内。这些技术在文献中有全面的阐释,如“Molecular Cloning:A Laboratory Manual”,second edition(Sambrook,1989);“Oligonucleotide Synthesis”(Gait,1984);“Animal Cell Culture”(Freshney,1987);“Methods in Enzymology”“Handbook of Experimental Immunology”(Weir,1996);“Gene Transfer Vectors for Mammalian Cells”(Miller and Caios,1987);“Current Protocols in Molecular Biology”(Ausubel,1987);“PCR:The Polymerase Chain Reaction”,(Mullis,1994);“Current Protocols in Immunology”(Coligan,1991)。这些技术可用于生产本发明的多核苷酸和多肽,并因此在进行和实施本发明中可以考虑。用于特定实施方式的特别有用的技术将在以下部分讨论。

[0148] 提出以下实施例以便为本领域普通技术人员提供关于如何进行和使用本发明的测定、筛选和治疗方法的完整公开和说明,并非意在限制发明者所视发明的范围。

[0149] 实施例 1. 共表达嵌合抗原受体(CAR)和嵌合共刺激受体(CCR)的 T 细胞根除已确立的肿瘤。

[0150] 本发明提供“肿瘤感应 T 细胞”,其同时结合由肿瘤细胞共表达的两种抗原。重要的是,已经发现针对表达单独抗原的组织反应性应当是极小的,仅在两种抗原都存在而非单独任一个存在时释放出 T 细胞活性。本发明至少部分基于发现在结合中提供选择性的 T 细胞免疫反应性,并因此使得该方法临床相关。首先是将 T 细胞激活分配给一个抗原(例如,CD19 或前列腺干细胞抗原 PSMA),其可以由 T 细胞受体(TCR)或嵌合抗原受体(CAR)介导。共刺激由“嵌合共刺激受体”(CCR)独立介导,^{12,13}嵌合共刺激受体靶向第二抗原(例如,前列腺特异性膜抗原 PSMA)。该方法得到了针对双抗原阳性(DP)肿瘤的增加的免疫反应性,但对单抗原阳性(SP)肿瘤不发挥增加的免疫响应性。对于使肿瘤感应 T 细胞将 DP 肿瘤与 SP 肿瘤区分开而言重要的第二原则是,使 T 细胞活性降低至其自身不能实现激活、但在肿瘤部位通过 CCR 与独立的共表达抗原结合而挽救其功能的水平。由于 CAR 和 CCR 识别细胞表面抗原而不是 HLA-肽复合物,以这种方式设计的 T 细胞直接靶向肿瘤并且不会因与交叉呈递靶抗原的细胞的相互作用而受到共刺激。如本文所证实的,该方法结果造成多发性荷瘤小鼠中的选择性肿瘤根除。

[0151] 为证明可使用两种不同的抗原特异性受体在体内提供 T 细胞激活和共刺激信号,对 CAR 与特异于 PSMA 的 CCR^{12,15}的组合进行了评价,其中 CAR 在识别 B 细胞标志物 CD19 时提供 CD3 激活信号¹⁴。由于 CD28 与 4-1BB^{16,17}之间的协同性,包括串联的胞质域在内¹⁸⁻²¹,如所

记载的²将 4-1BB 胞质域加入至 PSMA CCR P28¹⁵(图 1A)。用 19z1 和 / 或 P28BB 受体转导原代人外周血 T 细胞,并显示出容易检测的两种受体的表达,转导效率在 45-70% 范围内(图 1B)。在所有随后的研究中分析四组 T 细胞,包括抗 CD19CAR(19z1)、抗 PSMA CCR(P28BB)、抗 CD19CAR 和抗 PSMA CCR 二者组合(19z1+P28BB)、以及模拟转导的对照组(模拟)(图 1C)。暴露于 CD19 和 / 或 PSMA 时的体外细胞毒性和增殖响应显示,如所预期的,19z1 赋予了指向 CD19 的细胞毒性,并且其在 PSMA 的存在下未被改变。

[0152] T 细胞组的定量比较(对于 19z1 和 19z1+P28BB 组而言归一化为经 19z1 转导的 T 细胞的分数,在 P28BB 组中为经 P28BB 转导的分数)显示,19z1 和 19z1+P28BB T 细胞以 50:1 的 E:T 比率特异性地裂解 40-47% 的 CD19⁺靶标,而经 P28BB 转导的 T 细胞不能裂解 PSMA⁺靶标(图 2A)。然而,在不存在外源细胞因子的情况下重复暴露于这些抗原,当在表达两种抗原的人工抗原呈递细胞(AAPC)上共培养时,仅有 19z1+P28BB T 细胞表现出强健增殖,扩增 58 倍持续 31 天。比较之下,19z1 或 P28BB T 细胞仅在开始的 14 天表现出适中的扩张,如 19z1+P28BB T 细胞在 CD19⁺PSMA⁻APC 上表现的那样(图 2B)。对 19z1+P28BB T 细胞中细胞因子产生和抗凋亡分子 Bcl_xL 诱导的定量评估提供了两种抗原均存在时有更强的 T 细胞激活的进一步证据,在 CD19⁺PSMA⁺APC 存在下的评价结果明显要高于单独任一抗原存在时的结果(图 4A、4E)。

[0153] 最初,在携带双阳性(CD19+PSMA+)肿瘤细胞的免疫低下的 NOD/SCID- γ C KO(NSG)小鼠中,测试了这些表达双受体的 T 细胞体内根除已确立的系统性人类前列腺肿瘤的能力。对 NSG 小鼠系统性地植入 2.0×10^6 的表达萤火虫荧光素酶的 PC3 肿瘤细胞(表达 CD19 和 PSMA)(图 5),并在 19 天后单次静脉输注 1.0×10^6 的 19z1、19z1+P28BB、P28BB 或对照 T 细胞进行处理。35 天后,接受了 P28BB T 细胞或对照 T 细胞的小鼠由于肿瘤负荷而被处死。相比之下,用 19z1 T 细胞处理的小鼠具有显著减少的肿瘤负荷。引人注目地,用 19z1+P28BB T 细胞处理的小鼠没有可检测到的肿瘤负荷(图 2C)。在输注后监测的 70 天内,在接受 19z1 T 细胞的小鼠中 CD19⁺肿瘤最终复发,而完全的缓解在所有接受 19z1+P28BB T 细胞的小鼠中得以持续(图 2C)。该结果强烈地表明已达到了肿瘤根除。

[0154] 然而,这些发现由于 19z1+P28BB T 细胞引起的 CD19⁺PSMA⁻肿瘤的潜在基线根除而引发担忧。存在这样的可能性,即由于 T 细胞的再循环,T 细胞免疫反应性可能在携带双阳性 CD19⁺PSMA⁺肿瘤的受体中非期望地增强。为测试该假设,对小鼠将 CD19⁺PSMA⁻肿瘤皮下注射入左肋,CD19⁺PSMA⁺肿瘤注射入右肋,以及 CD19⁺PSMA⁺肿瘤注射入其后背。一周后,小鼠被静脉施以 19z1、P28BB 或 19z1+P28BB T 细胞中的一种(1.0×10^6 个细胞)。接受 P28BB T 细胞的小鼠具有所有三种肿瘤的进展并且须在 35 天内被处死(图 2D)。在用 19z1 T 细胞处理的小鼠中,在最终进展前,CD19⁺PSMA⁻和 CD19⁺PSMA⁺肿瘤相对于其在 P28BB T 细胞受者中的进展大量减少。与先前结果一致,用 19z1+P28BB T 细胞处理的小鼠显示出 CD19⁺PSMA⁺肿瘤的完全根除。然而,如所假设的,对 CD19⁺PSMA⁻肿瘤的排斥也大大增加且高于在 19z1 T 细胞受体中观察到的(图 2D,下部板块)。因此,靶向两个抗原的分割信号方案(split signal approach)未能局限 T 细胞反应性和保护单抗原肿瘤。

[0155] 为解决单抗原反应性的问题,提出需将 T 细胞激活最小化,几乎达到消尽点,只有在表达双抗原的部位通过适当 CCR 参与才能被挽救。因此,寻找具有降低的活性的 CAR。对于这些实验,使用靶向 PSCA 和 PSMA 的临床相关的抗原组合。对三种 PSCA 特异性 scFv 进

行评价,其具有不同的 PSCA 结合亲和力(图 3A)。尽管 Hz1scFv 有效地使肿瘤细胞溶解至皮克范围, Lz1scFv 需要 1,000-10,000 倍更多的抗体来达到相近效力的特异性溶解。这些 scFv 被用于衍生在细胞毒性测试中具有不同活性的三种基于 CD3 的 CAR(图 3B)。两种 CAR——Hz1 和 Mz1 产生适中的针对 PSCA⁺靶标的溶解活性(在 50:1 的 E:T 比例下 20% 特异性溶解)。相比之下,第三种 CAR——Lz1,仅达到 10%,其被定性为无效的抗原受体。这种分层(hierarchy)在细胞因子释放测定中得到进一步证实,其显示,相较于具有单独任一受体的细胞,19z1+P28BB T 细胞(图 4A)和 Hz1+P28BB T 细胞(图 4B)引发增强的细胞因子分泌。该增强在 Mz1+P28BB T 细胞(图 4C)中较少且在 Lz1+P28BB T 细胞中进一步减少(图 4D)。

[0156] 为评价 PSCA⁺PSMA⁻反应性 T 细胞的疗效和靶向特性(targeting profile),在携带 PSCA⁺PSMA⁻和 / 或 PSCA⁺PSMA⁺肿瘤的动物中测试这些 T 细胞的抗肿瘤活性。首先,为测试 Mz1+P28BB 和 Lz1+P28BB T 细胞选择性地根除 PSCA⁺PSMA⁺细胞的能力,用 2×10^6 的表达 FFLuc 的 PSMA 阳性、PSCA 阳性或双阳性的 PC3 细胞静脉接种小鼠(图 5)。14 天后,一组小鼠接受 1×10^6 的 Mz1+P28BB CAR+T 细胞的静脉注射,且另一组接受 1×10^6 的 Lz1+P28BB CARP T 细胞。用更有效的 Mz1+P28BB T 细胞处理的携带 PSCA+PSMA 肿瘤的小鼠比用 Lz1+P28BB T 细胞处理的小鼠显示出更大的肿瘤消退(图 3C)。与 CD19 实验类似(图 2C),这些肿瘤最终复发并进展。然而,在携带 PSCA⁺PSMA⁺肿瘤细胞的小鼠中,Mz1+P28BB T 细胞引起了强健且长期的肿瘤根除。与 Lz1+P28BB T 细胞的较低效力相一致,在用 Lz1+P28BB T 细胞处理的携带 PSCA⁺PSMA⁺肿瘤的小鼠中,肿瘤根除较慢但同等成功,结果引起强烈的肿瘤根除和所有处理小鼠的长期存活(图 3C)。在携带 PSCA⁺PSMA⁻或在携带 PSCA⁻PSMA⁺肿瘤的对照小鼠中肿瘤根除均未增强(图 3C)。在同样携带 PSCA⁺PSMA⁺和 PSCA⁻PSMA⁺肿瘤的情景中,进行针对 PSCA⁺PSMA⁻肿瘤背景活性的更严谨评价的测试。Lz1+P28BB T 细胞介导 PSCA+PSMA+ 肿瘤的根除而没有增加 PSCA+PSMA 肿瘤的根除(图 3E),这不同于 Lz1 T 细胞引发的结果。

[0157] 因此,这些结果表明了将 T 细胞激活降低至避免对于表达一种靶抗原的组织的免疫反应性并在共表达两种抗原的肿瘤部位挽救 T 细胞激活的程度的可行性,而不产生激发对于单抗原表达组织的反应性的风险。这样做,结果显示概念性验证(proof-of-principle)地实现了决定特异性和安全性的双重互补结局:1) 在不存在独特的靶抗原的情况下通过组合抗原识别产生靶向特异性的能力;以及 2) 通过滴定式激活(titrating activation)和共刺激信号来保护仅表达一种抗原的细胞,从而在实践中将活性局限在靶抗原共表达的部位。

[0158] 靶向 T 细胞疗法具有提供治愈性治疗的潜力,但其实用性由于缺乏有效的肿瘤特异性靶标而受限。肿瘤外的表达实际上导致了“靶标-开启,肿瘤-失效”的效果,因此 2-4”有时可以是可耐受的但最终是致死的 11。本文所述的方法经由组合抗原识别给出滴定式激活和共刺激信号而提供改善的靶向(图 6A-6C)。

[0159] 在生理学抗原呈递中,²²T 细胞通过在淋巴结接收激活和共刺激信号而致敏并迁移至外周部位,在此 T 细胞的效应功能不依赖于共刺激。类似的,经抗原受体和 CCR 接合的 T 细胞可以再循环至其他外周部位,并表现出针对仅表达一种靶抗原的组织的提高的细胞溶解活性(图 6A)。因此,为留下抗原单阳性的细胞包括非肿瘤细胞,开发了现在的策略以解决该潜在的全身性作用的问题(图 6B)。在一个三-肿瘤小鼠模型中(PSCA⁺、PSMA⁺和

PSCA⁺PSMA⁺),达到了 PSCA⁺PSMA⁺的根除,同时留下 PSCA⁺PSMA⁻和 PSCA⁻PSMA⁺肿瘤(图 3E)。

[0160] 如本研究所示,这种 DP 肿瘤选择性能通过降低 CAR 的有效性而达到,其产生了细胞毒性较低(图 3B)并具有降低水平的细胞因子分泌的细胞(图 4A-4D)。尽管对 19z1 和 Hz1CAR 来说 TH1 和 TH2 细胞因子的水平均相对较高,但使用较低有效性的 CAR Mz1 和 Lz1 使得这些水平降低。相对于 Lz1T 细胞而言 Lz1+P28BB T 细胞中细胞因子水平的增强被最小化,除了 IL-2 和 IL-3。尽管 IL-2 诱导增殖且能促进 TH1 或者 TH2 响应²³,IL-13 与特异于 4-1BB/CD137 信号转导的 TH2 响应相关联。^{24 25}

[0161] PSCA 和 PSMA 对于治疗转移性前列腺癌是有前途的靶标^{26 27},尽管其都不是绝对前列腺特异性的。在人类受试者中,PSCA 表达被发现于前列腺癌以及在肾盂、输尿管、膀胱和尿道中²⁸。PSMA 的表达与原发前列腺癌、转移强烈关联以及在星形细胞 II 型、肾近球小管和肠刷状缘中强烈关联²⁹。因此期望双 PSCA/PSMA 靶向会增加前列腺靶向性和降低针对这些正常组织的反应性。可以理解,该原理能够扩展至其他表达一对抗原的肿瘤类型,特别是那些赋予真正肿瘤特异性的那些抗原。例如,HER2、MUC1、CD44、CD49f、和 / 或 EpCAM 可以以这样的方式用于治疗乳腺癌^{3,1}。同样地,间皮素、叶酸受体 -a、CD44 和 / 或 CD133 可以被用于治疗卵巢癌^{32,33}。使用这种方法,对于尚未清楚鉴定出其中的独特靶抗原 / 结构的肿瘤起始细胞或癌症干细胞的靶向将特别有吸引力。

[0162] 该方法的一个重要方面是约束和几乎废止响应于单抗原的 T 细胞激活。发现仅提供较弱的激活信号的具有低亲和力或亲合力的 CAR 对于达到该效果是有用的。此外,具有低亲和力或亲合力的内源 TCR 可与 CCR 结合使用以提供抗原特异性共刺激。总而言之,该结果表明了限制所设计的 T 细胞的活性的优点,通过肿瘤感应 T 细胞的组合抗原识别得以调和效力与安全性。

[0163] γ 逆转录病毒载体构建和病毒制备

[0164] γ 逆转录病毒载体 SFG-19z1 已有广泛描述¹⁴。通过利用位于 scFv 的 5' 的 NcoI 位点和位于 scFv 的 3' 的 Nod 位点进行定向克隆,将骨架构建体用于交换 scFv,以产生 SFG-Hz1、SFG-Mz1 和 SFG-Lz1。为产生 SFG-P28BB,从 SFG-P28BBz1 经 PCR 扩增融合的 CD28 和 CD137 域,并利用 5' 的 NcoI 位点和 3' 的 BamHI 位点将其连接到 PSMA scFv 的 3', 以在 BB 域的 3' 包含终止密码子,而 CD3 域被去除²¹。通过使用先前记载的内部核糖体进入位点,实现要与 dsRED 共表达的 CAR 以及与 hrGFP 共表达的 CCR 的双顺反子基因表达。如先前记载的,使用载体来瞬时转染细胞系以产生稳定的病毒制造系。

[0165] 抗 PSCA scFv 的产生

[0166] 如先前记载的,使用来自杂交瘤的简并引物,扩增赋予非重叠表位的 PSCA 抗原特异性的重链可变域 (VH) 和轻链可变 (VL) 域,从而产生三种新的 PSCA 特异性 scFv (命名为 Hz1、Mz1 和 Lz1)³⁶。这些 VH 和 VL 域通过接头被融合在一起,并用于利用 5' SphI 和 3' NotI 位点取代 SFG-19z1 骨架中的 CD19scFv。

[0167] 原代人类 T 细胞的分离、逆转录病毒转导和培养

[0168] 使用 Ficol1 梯度法分离外周血白细胞,并如前所述进行转导。简单地说,在用 2&g/mL 的植物凝集素进行的 48 小时激活后,在接下来的 48 小时内,通过离心感染病毒法 (spinoculation) 在纤维连接蛋白 (retroectin) 涂覆的盘上转导细胞两次,持续 1 小时,并加入 20U/mL 的 IL-2。允许载体表达 3 天后,通过流式细胞术测定转导效率,且大量未分

选的细胞被用于多种测定或过继转移。

[0169] 产生表达抗原的肿瘤细胞系

[0170] PC3 人类前列腺肿瘤细胞系得自 ATCC, 并通过逆转录病毒转导¹⁶以产生 PC3-GFP/Luc, 其随后通过逆转录病毒转导被用于产生 10PC3-CD19、PC3-PSMA、PC3-CD19-PSMA、PC3-PSCA 以及 PC3-PSCA-PSMA。

[0171] CTL 铬释放杀伤实验

[0172] 表达所需抗原的靶细胞用⁵¹Cr 标记并以降低的效应物:靶比率与 T 细胞共培养。4 小时的培养之后, 移去上清液并用于测定铬释放出的放射性。通过扣除未与 T 细胞共培养的靶细胞的背景放射性, 并且除以通过使用 0.2% Triton X-100 完全溶解的靶细胞而测定的放射性来计算特异性细胞溶解。

[0173] 长期 T 细胞增殖测定

[0174] 以 30Gy 辐照表达所需抗原的肿瘤细胞, 之后以 5:1 的效应物:靶的比例与 1.0×10^6 的 T 细胞进行共培养。用 Invitrogen 细胞计数器每周对 T 细胞计数, 然后用经辐射的肿瘤细胞进行再刺激。不向这些共培养物中加入外源细胞因子。

[0175] 产生小鼠中的肿瘤模型

[0176] 将 PC3 肿瘤细胞输注到得自 Jackson 实验室的 NOD/SCID-IL2Ry 小鼠中或者按照由 MSKCC 动物保护和利用委员会认可的协议 04-10-024 笼内圈养饲养的小鼠中。对于系统性肿瘤实验, 将 2.0×10^6 的肿瘤输注到小鼠中, 在 14 天后输注 1.0×10^6 的嵌合受体阳性 T 细胞。对于皮下肿瘤实验, 在每个肿瘤部位注射 1.0×10^6 的肿瘤细胞, 确立 7 天后 IV 输注 1.0×10^6 的嵌合阳性 T 细胞。

[0177] 肿瘤负荷的定量

[0178] 对于系统性肿瘤实验, 如前所述, 通过使用 IVIS 100 系统 (Capiler Life Science) 将肿瘤负荷的量与发光相关联, 使用生物发光成像 (BLI) 来定量测量肿瘤负荷。对于皮下肿瘤, 使用卡钳来测量肿瘤尺寸。通过将每个肿瘤的长、宽和高相乘计算肿瘤体积。

[0179] 双特异性抗体介导的肿瘤裂解

[0180] 在标准 4 小时铬释放实验中, 以多种量分别将包含融合至 CD3 特异性 scFv 的 PSCA 特异性 scFv 的双特异性抗体加入至以 20:1 的比例与 PSCA⁺PC3 共培养的未转导 T 细胞中。

[0181] 流式细胞术

[0182] 如前所述, 使用 LSRII 流式细胞仪对细胞进行分析或用 FACSAria 细胞分选器 (BD Biosciences) 进行分选¹⁶。可以直接通过使用 AF647 结合的羊抗鼠抗体 (Invitrogen) 实现对细胞表面的嵌合受体的检测。抗 CD4-PE-Cy7、CD8-Pacific Blue 和 CD19-APC 的抗体得自 Invitrogen, PSCA 抗体从杂交瘤上清液中纯化, PSMA 抗体得自 MBL International。

[0183] 细胞因子分析

[0184] 从长期 T 细胞增殖实验中第二次肿瘤刺激后 48 小时收集上清液, 并通过使用定制的多路系统 HCYTMAG-60K (Millipore) 用于细胞因子分析, 并如前所述使用 Luminex 100 仪器 (Luminex) 进行分析²¹。

[0185] 蛋白质印迹法分析

[0186] 从长期 T 细胞增殖实验中第一次肿瘤刺激后 24 小时收集细胞, 用于 Bcl_xL 表达的

蛋白质印迹法分析。如前所述²¹使用 Bcl₂L 和 Akt 一抗 (Cell Singaling Technology) 来实施蛋白质印迹法。

[0187] 从在先的说明书,为适用于多种应用和情况,对本文所述发明作出变形和修改将是显而易见的。这样的实施方式也在所附权利要求的范围内。

[0188] 在任何本文变量的定义中要素列表的解读包括该作为任何单独要素或所列要素的组合(或次组合)的变量定义。本文一个实施方式的解读包括作为任何单独或与任何其他实施方式或其部分结合的实施方式。

[0189] 本申请可与美国专利申请号 12/593,751 相关,该申请是遵循 35U. S. C. § 371 的于 2010 年 3 月 8 日提交的国际专利申请号 PCT/US2008/004251 的美国国家阶段申请,其要求于 2007 年 3 月 30 日提交的美国临时申请序列号 60/921,144 的权益,其公开在此整体地并入本文以作参考。

[0190] 参考文献

[0191] 1. Robbins, P. F. et al. Tumor regression in patients with metastatic synovial cell sarcoma and melanoma using genetically engineered lymphocytes reactive with NY-ESO-1. *Journal of clinical oncology: official journal of the American Society of Clinical Oncology* 29,917-924(2011).

[0192] 2. Kalos, M. et al. T cells with chimeric antigen receptors have potent antitumor effects and can establish memory in patients with advanced leukemia. *Sci Transl Med* 3,95ra73(2011).

[0193] 3. Brentjens, R. J. et al. Safety and persistence of adoptively transferred autologous CD19-targeted T cells in patients with relapsed or chemotherapy refractory B-cell leukemias. *Blood* 118,4817-4828(2011).

[0194] 4. Kochenderfer, J. N. et al. B-cell depletion and remissions of malignancy along with cytokine-associated toxicity in a clinical trial of anti-CD19 chimeric-antigen-receptor-transduced T cells. *Blood* 119,2709-2720(2012).

[0195] 5. Sadelain, M., Riviere, I. & Brentjens, R. Targeting tumours with genetically enhanced T lymphocytes. *Nat Rev Cancer* 3,35-45(2003).

[0196] 6. Ho, W. Y., Blattman, J. N., Dossett, M. L., Yee, C. & Greenberg, P. D. Adoptive immunotherapy: engineering T cell responses as biologic weapons for tumor mass destruction. *Cancer cell* 3,431-437(2003).

[0197] 7. Rosenberg, S. A., Restifo, N. P., Yang, J. C., Morgan, R. A. & Dudley, M. E. Adoptive cell transfer: a clinical path to effective cancer immunotherapy. *Nature reviews. Cancer* 8,299-308(2008).

[0198] 8. Sadelain, M., Brentjens, R. & Riviere, I. The promise and potential pitfalls of chimeric antigen receptors. *Curr Opin Immunol* 21,215-223(2009).

[0199] 9. Jorritsma, A., Schotte, R., Coccoris, M., de Witte, M. A. & Schumacher, T. N. Prospects and limitations of T cell receptor gene therapy. *Current gene therapy* 11,276-287(2011).

[0200] 10. Johnson, L. A. et al. Gene therapy with human and mouse T, cell receptors

mediates cancer regression and targets normal tissues expressing cognate antigen. *Blood* 114, 535–546 (2009).

[0201] 11. Morgan, R. A. et al. Case report of a serious adverse event following the administration of T cells transduced with a chimeric antigen receptor recognizing ERBB2. *Molecular therapy : the journal of the American Society of Gene Therapy* 18, 843–851 (2010).

[0202] 12. Krause, A. et al. Antigen-dependent CD28 signaling selectively enhances survival and proliferation in genetically modified activated human primary T lymphocytes. *J Exp Med* 188, 619–626 (1998).

[0203] 13. Wilkie, S. et al. Dual Targeting of ErbB2 and MUC1 in Breast Cancer Using Chimeric Antigen Receptors Engineered to Provide Complementary Signaling. *Journal of clinical immunology* (2012).

[0204] 14. Brentjens, R. J. et al. Eradication of systemic B-cell tumors by genetically targeted human T lymphocytes co-stimulated by CD80 and interleukin-15. *Nature medicine* 9, 279–286 (2003).

[0205] 15. Maher, J., Brentjens, R. J., Gunset, G., Riviere, I. & Sadelain, M. Human T-lymphocyte cytotoxicity and proliferation directed by a single chimeric TCRzeta/CD28 receptor. *Nat Bio technol.* 20, 70–75 (2002).

[0206] 16. Stephan, M. T. et al. T cell-encoded CD80 and 4-1BBL induce auto- and transcostimulation, resulting in potent tumor rejection. *Nature medicine* 13, 1440–1449 (2007).

[0207] 17. Watts, T. H. TNF/TNFR family members in costimulation of T cell responses. *Annual review of immunology* 23, 23–68 (2005).

[0208] 18. Wang, J. et al. Optimizing adoptive polyclonal T cell immunotherapy of lymphomas, using a chimeric T cell receptor possessing CD28 and CD137 costimulatory domains. *Human gene therapy* 18, 712–725 (2007).

[0209] 19. Carpenito, C. et al. Control of large, established tumor xenografts with genetically retargeted human T cells containing CD28 and CD137 domains. *Proceedings of the National Academy of Sciences of the United States of America* 106, 3360–3365 (2009).

[0210] 20. Tammana, S. et al. 4-1BB and CD28 signaling plays a synergistic role in redirecting umbilical cord blood T cells against B-cell malignancies. *Hum Gene Ther* 21, 75–86 (2010).

[0211] 21. Zhong, X. S., Matsushita, M., Plotkin, J., Riviere, I. & Sadelain, M. Chimeric antigen receptors combining 4-1BB and CD28 signaling domains augment PI3kinase/AKT/Bcl-X L activation and CD8+ T cell-mediated tumor eradication. *Molecular therapy : the journal of the American Society of Gene Therapy* 18, 413–420 (2010).

[0212] 22. Schwartz, R. H. T cell anergy. *Annual review of immunology* 21, 305–33 (2003).

- [0213] 23. Liao, W., Lin, J. X. & Leonard, W. J. IL-2 family cytokines: new insights into the complex roles of IL-2 as a broad regulator of T helper cell differentiation. *Current opinion in immunology* 23, 598–604 (2011).
- [0214] 24. Nam, K. O., Shin, S. M. & Lee, H. W. Cross-linking of 4-1BB up-regulates IL-13 expression in CD8(+) T lymphocytes. *Cytokine* 33, 87–94 (2006).
- [0215] 25. Shin, S. M. et al. 4-1BB triggers IL-13 production from T cells to limit the polarized, Th1-mediated inflammation. *Journal of leukocyte biology* 81, 1455–1465 (2007).
- [0216] 26. Saeki, N., Gu, J., Yoshida, T. & Wu, X. Prostate stem cell antigen: a Jekyll and Hyde molecule? *Clinical cancer research: an official journal of the American Association for Cancer Research* 16, 3533–3538 (2010).
- [0217] 27. Olson, W. C., Heston, W. D. & Rajasekaran, A. K. Clinical trials of cancer therapies targeting prostate-specific membrane antigen. *Reviews on recent clinical trials* 2, 182–190 (2007).
- [0218] 28. Lam, J. S. et al. Prostate stem cell antigen is overexpressed in prostate cancer metastases. *Clinical cancer research: an official journal of the American Association for Cancer Research* 11, 2591–2596 (2005).
- [0219] 29. Silver, D. A., Pellicer, I., Fair, W. R., Heston, W. D. & Cordon-Cardo, C. Prostate-specific membrane antigen expression in normal and malignant human tissues. *Clinical cancer research: an official journal of the American Association for Cancer Research* 3, 81–85 (1997).
- [0220] 30. Liu, J. C. et al. Seventeen-gene signature from enriched Her2/Neu mammary tumor-initiating cells predicts clinical outcome for human HER2+; ERalpha-breast cancer. *Proceedings of the National Academy of Sciences of the United States of America* 109, 5832–5837 (2012).
- [0221] 31. Meyer, M. J. et al. CD44^{pos}CD49f^{hi}CD133/2^{hi} defines xenograft-initiating cells in estrogen receptor-negative breast cancer. *Cancer research* 70, 4624–4633 (2010).
- [0222] 32. Strauss, R. et al. Analysis of epithelial and mesenchymal markers in ovarian cancer reveals phenotypic heterogeneity and plasticity. *PloS one* 6, e16186 (2011).
- [0223] 33. Shihle, M. & Davidson, B. Pathogenesis of ovarian cancer: clues from selected overexpressed genes. *Future Oncol* 5, 1641–1657 (2009).
- [0224] 34. Nguyen, L. V., Vanner, R., Dirks, P. & Eaves, C. J. Cancer stem cells: an evolving concept. *Nature reviews. Cancer* 12, 133–143 (2012).
- [0225] 35. Magee, J. A., Piskounova, E. & Morrison, S. J. Cancer stem cells: impact, heterogeneity, and uncertainty. *Cancer cell* 21, 283–296 (2012).
- [0226] 36. Orlandi, R., Gussow, D. H., Jones, P. T. & Winter, G. Cloning immunoglobulin variable domains for expression by the polymerase chain reaction. *Proceedings*

of the National Academy of Sciences of the United States of America 86, 3833-3837(1989).

[0001]

序列表

<110> 纪念斯隆-凯特琳癌症中心
M·塞德莱恩
C·C·克洛斯

<120> 用于免疫疗法的组合物和方法

<130> 3314.040AWO

<150> US61/709,072

<151> 2012-10-02

<160> 11

<170> PatentIn 版本 3.5

<210> 1

<211> 164

<212> PRT

<213> 智人 (Homo sapiens)

<400> 1

Met Lys Trp Lys Ala Leu Phe Thr Ala Ala Ile Leu Gln Ala Gln Leu
1 5 10 15

Pro Ile Thr Glu Ala Gln Ser Phe Gly Leu Leu Asp Pro Lys Leu Cys
 20 25 30

Tyr Leu Leu Asp Gly Ile Leu Phe Ile Tyr Gly Val Ile Leu Thr Ala
 35 40 45

Leu Phe Leu Arg Val Lys Phe Ser Arg Ser Ala Asp Ala Pro Ala Tyr
 50 55 60

Gln Gln Gly Gln Asn Gln Leu Tyr Asn Glu Leu Asn Leu Gly Arg Arg
65 70 75 80

[0002]

Glu Glu Tyr Asp Val Leu Asp Lys Arg Arg Gly Arg Asp Pro Glu Met
 85 90 95

Gly Gly Lys Pro Gln Arg Arg Lys Asn Pro Gln Glu Gly Leu Tyr Asn
 100 105 110

Glu Leu Gln Lys Asp Lys Met Ala Glu Ala Tyr Ser Glu Ile Gly Met
 115 120 125

Lys Gly Glu Arg Arg Arg Gly Lys Gly His Asp Gly Leu Tyr Gln Gly
 130 135 140

Leu Ser Thr Ala Thr Lys Asp Thr Tyr Asp Ala Leu His Met Gln Ala
 145 150 155 160

Leu Pro Pro Arg

<210> 2

<211> 235

<212> PRT

<213> 智人

<400> 2

Met Ala Leu Pro Val Thr Ala Leu Leu Leu Pro Leu Ala Leu Leu Leu
 1 5 10 15

His Ala Ala Arg Pro Ser Gln Phe Arg Val Ser Pro Leu Asp Arg Thr
 20 25 30

Trp Asn Leu Gly Glu Thr Val Glu Leu Lys Cys Gln Val Leu Leu Ser
 35 40 45

Asn Pro Thr Ser Gly Cys Ser Trp Leu Phe Gln Pro Arg Gly Ala Ala

[0003]

50	55	60
Ala Ser Pro Thr Phe Leu Leu Tyr Leu Ser Gln Asn Lys Pro Lys Ala		
65	70	75 80
Ala Glu Gly Leu Asp Thr Gln Arg Phe Ser Gly Lys Arg Leu Gly Asp		
	85	90 95
Thr Phe Val Leu Thr Leu Ser Asp Phe Arg Arg Glu Asn Glu Gly Tyr		
	100	105 110
Tyr Phe Cys Ser Ala Leu Ser Asn Ser Ile Met Tyr Phe Ser His Phe		
	115	120 125
Val Pro Val Phe Leu Pro Ala Lys Pro Thr Thr Thr Pro Ala Pro Arg		
	130	135 140
Pro Pro Thr Pro Ala Pro Thr Ile Ala Ser Gln Pro Leu Ser Leu Arg		
145	150	155 160
Pro Glu Ala Cys Arg Pro Ala Ala Gly Gly Ala Val His Thr Arg Gly		
	165	170 175
Leu Asp Phe Ala Cys Asp Ile Tyr Ile Trp Ala Pro Leu Ala Gly Thr		
	180	185 190
Cys Gly Val Leu Leu Leu Ser Leu Val Ile Thr Leu Tyr Cys Asn His		
	195	200 205
Arg Asn Arg Arg Arg Val Cys Lys Cys Pro Arg Pro Val Val Lys Ser		
210	215	220
Gly Asp Lys Pro Ser Leu Ser Ala Arg Tyr Val		

[0004]

Leu Phe Pro Gly Pro Ser Lys Pro Phe Trp Val Leu Val Val Val Gly
 145 150 155 160

Gly Val Leu Ala Cys Tyr Ser Leu Leu Val Thr Val Ala Phe Ile Ile
 165 170 175

Phe Trp Val Arg Ser Lys Arg Ser Arg Leu Leu His Ser Asp Tyr Met
 180 185 190

Asn Met Thr Pro Arg Arg Pro Gly Pro Thr Arg Lys His Tyr Gln Pro
 195 200 205

Tyr Ala Pro Pro Arg Asp Phe Ala Ala Tyr Arg Ser
 210 215 220

<210> 4
 <211> 255
 <212> PRT
 <213> 智人

<400> 4

Met Gly Asn Ser Cys Tyr Asn Ile Val Ala Thr Leu Leu Leu Val Leu
 1 5 10 15

Asn Phe Glu Arg Thr Arg Ser Leu Gln Asp Pro Cys Ser Asn Cys Pro
 20 25 30

Ala Gly Thr Phe Cys Asp Asn Asn Arg Asn Gln Ile Cys Ser Pro Cys
 35 40 45

Pro Pro Asn Ser Phe Ser Ser Ala Gly Gly Gln Arg Thr Cys Asp Ile
 50 55 60

[0006]

Cys Arg Gln Cys Lys Gly Val Phe Arg Thr Arg Lys Glu Cys Ser Ser
65 70 75 80

Thr Ser Asn Ala Glu Cys Asp Cys Thr Pro Gly Phe His Cys Leu Gly
85 90 95

Ala Gly Cys Ser Met Cys Glu Gln Asp Cys Lys Gln Gly Gln Glu Leu
100 105 110

Thr Lys Lys Gly Cys Lys Asp Cys Cys Phe Gly Thr Phe Asn Asp Gln
115 120 125

Lys Arg Gly Ile Cys Arg Pro Trp Thr Asn Cys Ser Leu Asp Gly Lys
130 135 140

Ser Val Leu Val Asn Gly Thr Lys Glu Arg Asp Val Val Cys Gly Pro
145 150 155 160

Ser Pro Ala Asp Leu Ser Pro Gly Ala Ser Ser Val Thr Pro Pro Ala
165 170 175

Pro Ala Arg Glu Pro Gly His Ser Pro Gln Ile Ile Ser Phe Phe Leu
180 185 190

Ala Leu Thr Ser Thr Ala Leu Leu Phe Leu Leu Phe Phe Leu Thr Leu
195 200 205

Arg Phe Ser Val Val Lys Arg Gly Arg Lys Lys Leu Leu Tyr Ile Phe
210 215 220

Lys Gln Pro Phe Met Arg Pro Val Gln Thr Thr Gln Glu Glu Asp Gly
225 230 235 240

[0007]

Cys Ser Cys Arg Phe Pro Glu Glu Glu Glu Gly Gly Cys Glu Leu
 245 250 255

<210> 5
 <211> 288
 <212> PRT
 <213> 智人

<400> 5

Met Gly His Thr Arg Arg Gln Gly Thr Ser Pro Ser Lys Cys Pro Tyr
 1 5 10 15

Leu Asn Phe Phe Gln Leu Leu Val Leu Ala Gly Leu Ser His Phe Cys
 20 25 30

Ser Gly Val Ile His Val Thr Lys Glu Val Lys Glu Val Ala Thr Leu
 35 40 45

Ser Cys Gly His Asn Val Ser Val Glu Glu Leu Ala Gln Thr Arg Ile
 50 55 60

Tyr Trp Gln Lys Glu Lys Lys Met Val Leu Thr Met Met Ser Gly Asp
 65 70 75 80

Met Asn Ile Trp Pro Glu Tyr Lys Asn Arg Thr Ile Phe Asp Ile Thr
 85 90 95

Asn Asn Leu Ser Ile Val Ile Leu Ala Leu Arg Pro Ser Asp Glu Gly
 100 105 110

Thr Tyr Glu Cys Val Val Leu Lys Tyr Glu Lys Asp Ala Phe Lys Arg
 115 120 125

[0008]

Glu His Leu Ala Glu Val Thr Leu Ser Val Lys Ala Asp Phe Pro Thr
 130 135 140

Pro Ser Ile Ser Asp Phe Glu Ile Pro Thr Ser Asn Ile Arg Arg Ile
 145 150 155 160

Ile Cys Ser Thr Ser Gly Gly Phe Pro Glu Pro His Leu Ser Trp Leu
 165 170 175

Glu Asn Gly Glu Glu Leu Asn Ala Ile Asn Thr Thr Val Ser Gln Asp
 180 185 190

Pro Glu Thr Glu Leu Tyr Ala Val Ser Ser Lys Leu Asp Phe Asn Met
 195 200 205

Thr Thr Asn His Ser Phe Met Cys Leu Ile Lys Tyr Gly His Leu Arg
 210 215 220

Val Asn Gln Thr Phe Asn Trp Asn Thr Thr Lys Gln Glu His Phe Pro
 225 230 235 240

Asp Asn Leu Leu Pro Ser Trp Ala Ile Thr Leu Ile Ser Val Asn Gly
 245 250 255

Ile Phe Val Ile Cys Cys Leu Thr Tyr Cys Phe Ala Pro Arg Cys Arg
 260 265 270

Glu Arg Arg Arg Asn Glu Arg Leu Arg Arg Glu Ser Val Arg Pro Val
 275 280 285

<210> 6

<211> 182

<212> PRT

<213> 智人

[0009]

<400> 6

Met Glu Arg Val Gln Pro Leu Glu Glu Asn Val Gly Asn Ala Ala Arg
1 5 10 15

Pro Arg Phe Glu Arg Asn Lys Leu Leu Leu Val Ala Ser Val Ile Gly
20 25 30

Gly Leu Gly Leu Leu Leu Cys Phe Thr Tyr Ile Cys Leu His Phe Ser
35 40 45

Ala Leu Gln Val Ser His Arg Tyr Pro Arg Ile Gln Ser Ile Lys Val
50 55 60

Gln Phe Thr Glu Tyr Lys Lys Glu Lys Gly Phe Ile Leu Thr Ser Gln
65 70 75 80

Lys Glu Asp Glu Ile Met Lys Val Gln Asn Asn Ser Val Ile Ile Asn
85 90 95

Cys Asp Gly Phe Tyr Leu Ile Ser Leu Lys Gly Tyr Phe Ser Gln Glu
100 105 110

Val Asn Ile Ser Leu His Tyr Gln Asp Glu Glu Pro Leu Phe Gln Leu
115 120 125

Lys Lys Val Arg Ser Val Asn Ser Leu Met Val Ala Ser Leu Thr Tyr
130 135 140

Lys Asp Lys Val Tyr Leu Asn Tyr Thr Thr Asp Asn Thr Ser Leu Asp
145 150 155 160

Asp Phe His Val Asn Gly Gly Glu Leu Ile Leu Ile His Gln Asn Pro

[0010]

	165	170	175
Gly Glu Phe Cys Val Leu			
	180		
<210> 7			
<211> 451			
<212> PRT			
<213> 智人			
<400> 7			
Met Ala Leu Pro Val Thr Ala Leu Leu Leu Pro Leu Ala Leu Leu Leu			
1	5	10	15
His Ala Glu Val Lys Leu Gln Gln Ser Gly Ala Glu Leu Val Arg Pro			
	20	25	30
Gly Ser Ser Val Lys Ile Ser Cys Lys Ala Ser Gly Tyr Ala Phe Ser			
	35	40	45
Ser Tyr Trp Met Asn Trp Val Lys Gln Arg Pro Gly Gln Gly Leu Glu			
	50	55	60
Trp Ile Gly Gln Ile Tyr Pro Gly Asp Gly Asp Thr Asn Tyr Asn Gly			
65	70	75	80
Lys Phe Lys Gly Gln Ala Thr Leu Thr Ala Asp Lys Ser Ser Ser Thr			
	85	90	95
Ala Tyr Met Gln Leu Ser Gly Leu Thr Ser Glu Asp Ser Ala Val Tyr			
	100	105	110
Glu Cys Ala Arg Lys Thr Ile Ser Ser Val Val Asp Phe Tyr Phe Asp			
	115	120	125

[0011]

Tyr Trp Gly Gln Gly Thr Thr Val Thr Val Ser Ser Gly Gly Gly Gly
 130 135 140

Ser Gly Gly Gly Gly Ser Gly Gly Gly Gly Ser Asp Ile Glu Leu Thr
 145 150 155 160

Gln Ser Pro Lys Phe Met Ser Thr Ser Val Gly Asp Arg Val Ser Val
 165 170 175

Thr Cys Lys Ala Ser Gln Asn Val Gly Thr Asn Val Ala Trp Tyr Gln
 180 185 190

Gln Lys Pro Gly Gln Ser Pro Lys Pro Leu Ile Tyr Ser Ala Thr Tyr
 195 200 205

Arg Asn Ser Gly Val Pro Asp Arg Phe Thr Gly Ser Gly Ser Gly Thr
 210 215 220

Asp Phe Thr Leu Thr Ile Thr Asn Val Gln Ser Lys Asp Leu Ala Asp
 225 230 235 240

Tyr Phe Cys Gln Gln Tyr Asn Arg Tyr Pro Tyr Thr Ser Gly Gly Gly
 245 250 255

Thr Lys Leu Glu Ile Lys Arg Ala Ala Ala Pro Thr Thr Thr Pro Ala
 260 265 270

Pro Arg Pro Pro Thr Pro Ala Pro Thr Ile Ala Ser Gln Pro Leu Ser
 275 280 285

Leu Arg Pro Glu Ala Cys Arg Pro Ala Ala Gly Gly Ala Val His Thr
 290 295 300

[0012]

Arg Gly Leu Asp Phe Ala Cys Asp Ile Tyr Ile Trp Ala Pro Leu Ala
305 310 315 320

Gly Thr Cys Gly Val Leu Leu Leu Ser Leu Val Ile Thr Leu Tyr Cys
325 330 335

Asn Phe Ile Arg Val Lys Glu Ser Arg Ser Ala Glu Pro Pro Ala Tyr
340 345 350

Gln Gln Gly Gln Asn Gln Leu Tyr Asn Glu Leu Asn Leu Gly Arg Arg
355 360 365

Glu Glu Tyr Asp Val Leu Asp Lys Arg Arg Gly Arg Asp Pro Glu Met
370 375 380

Gly Gly Lys Pro Arg Arg Lys Asn Pro Gln Glu Gly Leu Tyr Asn Glu
385 390 395 400

Leu Gln Lys Asp Lys Met Ala Glu Ala Tyr Ser Glu Ile Gly Met Lys
405 410 415

Gly Glu Arg Arg Arg Gly Lys Gly His Asp Gly Leu Tyr Gln Gly Leu
420 425 430

Ser Thr Ala Thr Lys Asp Thr Tyr Asp Ala Leu His Met Gln Ala Leu
435 440 445

Pro Pro Arg
450

<210> 8

<211> 478

[0013]

<212> PRT

<213> 智人

<400> 8

Met Ala Leu Pro Val Thr Ala Leu Leu Leu Pro Leu Ala Leu Leu Leu
1 5 10 15

His Ala Glu Val Gln Leu Gln Gln Ser Gly Pro Glu Leu Val Lys Pro
20 25 30

Gly Thr Ser Val Arg Ile Ser Cys Lys Thr Ser Gly Tyr Thr Phe Thr
35 40 45

Glu Tyr Thr Ile His Trp Val Lys Gln Ser His Gly Lys Ser Leu Glu
50 55 60

Trp Ile Gly Asn Ile Asn Pro Asn Asn Gly Gly Thr Thr Tyr Asn Gln
65 70 75 80

Lys Phe Glu Asp Lys Ala Thr Leu Thr Val Asp Lys Ser Ser Ser Thr
85 90 95

Ala Tyr Met Glu Leu Arg Ser Leu Thr Ser Glu Asp Ser Ala Val Tyr
100 105 110

Tyr Cys Ala Ala Gly Trp Asn Phe Asp Tyr Trp Gly Gln Gly Thr Thr
115 120 125

Val Thr Val Ser Ser Gly Gly Gly Gly Ser Gly Gly Gly Gly Ser Gly
130 135 140

Gly Gly Gly Ser Asp Ile Val Met Thr Gln Ser His Lys Phe Met Ser
145 150 155 160

[0014]

Thr Ser Val Gly Asp Arg Val Ser Ile Ile Cys Lys Ala Ser Gln Asp
 165 170 175

Val Gly Thr Ala Val Asp Trp Tyr Gln Gln Lys Pro Gly Gln Ser Pro
 180 185 190

Lys Leu Leu Ile Tyr Trp Ala Ser Thr Arg His Thr Gly Val Pro Asp
 195 200 205

Arg Phe Thr Gly Ser Gly Ser Gly Thr Asp Phe Thr Leu Thr Ile Thr
 210 215 220

Asn Val Gln Ser Glu Asp Leu Ala Asp Tyr Phe Cys Gln Gln Tyr Asn
 225 230 235 240

Ser Tyr Pro Leu Thr Phe Gly Ala Gly Thr Met Leu Asp Leu Lys Arg
 245 250 255

Ala Ala Ala Ile Glu Val Met Tyr Pro Pro Pro Tyr Leu Asp Asn Glu
 260 265 270

Lys Ser Asn Gly Thr Ile Ile His Val Lys Gly Lys His Leu Cys Pro
 275 280 285

Ser Pro Leu Phe Pro Gly Pro Ser Lys Pro Phe Trp Val Leu Val Val
 290 295 300

Val Gly Gly Val Leu Ala Cys Tyr Ser Leu Leu Val Thr Val Ala Glu
 305 310 315 320

Ile Ile Phe Trp Val Arg Ser Lys Arg Ser Arg Leu Leu His Ser Asp
 325 330 335

[0015]

Tyr Met Asn Met Thr Pro Arg Arg Pro Gly Pro Thr Arg Lys His Tyr
 340 345 350

Gln Pro Tyr Ala Pro Pro Arg Asp Phe Ala Ala Tyr Arg Ser Arg Val
 355 360 365

Lys Phe Ser Arg Ser Ala Asp Ala Pro Ala Tyr Gln Gln Gly Gln Asn
 370 375 380

Gln Leu Tyr Asn Glu Leu Asn Leu Gly Arg Arg Glu Glu Tyr Asp Val
 385 390 395 400

Leu Asp Lys Arg Arg Gly Arg Asp Pro Glu Met Gly Gly Lys Pro Arg
 405 410 415

Arg Lys Asn Pro Gln Glu Gly Leu Tyr Asn Glu Leu Gln Lys Asp Lys
 420 425 430

Met Ala Glu Ala Tyr Ser Glu Ile Gly Met Lys Gly Glu Arg Arg Arg
 435 440 445

Gly Lys Gly His Asp Gly Leu Tyr Gln Gly Leu Ser Thr Ala Thr Lys
 450 455 460

Asp Thr Tyr Asp Ala Leu His Met Gln Ala Leu Pro Pro Arg
 465 470 475

<210> 9
 <211> 245
 <212> PRT
 <213> 智人

<400> 9

[0016]

Pro Gly Gln Ser Pro Lys Pro Leu Ile Tyr Ser Ala Thr Tyr Arg Asn
 180 185 190

Ser Gly Val Pro Asp Arg Glu Thr Gly Ser Gly Ser Gly Thr Asp Phe
 195 200 205

Thr Leu Thr Ile Thr Asn Val Gln Ser Lys Asp Leu Ala Asp Tyr Phe
 210 215 220

Cys Gln Gln Tyr Asn Arg Tyr Pro Tyr Thr Ser Gly Gly Gly Thr Lys
 225 230 235 240

Leu Glu Ile Lys Arg
 245

<210> 10

<211> 257

<212> PRT

<213> 智人

<400> 10

Met Met Ala Leu Pro Val Thr Ala Leu Leu Leu Pro Leu Ala Leu Leu
 1 5 10 15

Leu His Ala Glu Val Gln Leu Gln Gln Ser Gly Pro Glu Leu Val Lys
 20 25 30

Pro Gly Thr Ser Val Arg Ile Ser Cys Lys Thr Ser Gly Tyr Thr Phe
 35 40 45

Thr Glu Tyr Thr Ile His Trp Val Lys Gln Ser His Gly Lys Ser Leu
 50 55 60

Glu Trp Ile Gly Asn Ile Asn Pro Asn Asn Gly Gly Thr Thr Tyr Asn

[0018]

65	70	75	80
Gln Lys Phe Glu Asp Lys Ala Thr Leu Thr Val Asp Lys Ser Ser Ser			
	85	90	95
Thr Ala Tyr Met Glu Leu Arg Ser Leu Thr Ser Glu Asp Ser Ala Val			
	100	105	110
Tyr Tyr Cys Ala Ala Gly Trp Asn Phe Asp Tyr Trp Gly Gln Gly Thr			
	115	120	125
Thr Val Thr Val Ser Ser Gly Gly Gly Gly Ser Gly Gly Gly Gly Ser			
	130	135	140
Gly Gly Gly Gly Ser Asp Ile Val Met Thr Gln Ser His Lys Phe Met			
145	150	155	160
Ser Thr Ser Val Gly Asp Arg Val Ser Ile Ile Cys Lys Ala Ser Gln			
	165	170	175
Asp Val Gly Thr Ala Val Asp Trp Tyr Gln Gln Lys Pro Gly Gln Ser			
	180	185	190
Pro Lys Leu Leu Ile Tyr Trp Ala Ser Thr Arg His Thr Gly Val Pro			
	195	200	205
Asp Arg Phe Thr Gly Ser Gly Ser Gly Thr Asp Phe Thr Leu Thr Ile			
210	215	220	
Thr Asn Val Gln Ser Glu Asp Leu Ala Asp Tyr Phe Cys Gln Gln Tyr			
225	230	235	240
Asn Ser Tyr Pro Leu Thr Phe Gly Ala Gly Thr Met Leu Asp Leu Lys			

[0019]

245

250

255

Arg

<210> 11

<211> 412

<212> PRT

<213> 智人

<400> 11

Met Ala Leu Pro Val Thr Ala Leu Leu Leu Pro Leu Ala Leu Leu Leu
 1 5 10 15

His Ala Glu Val Gln Leu Gln Gln Ser Gly Pro Glu Leu Val Lys Pro
 20 25 30

Gly Thr Ser Val Arg Ile Ser Cys Lys Thr Ser Gly Tyr Thr Phe Thr
 35 40 45

Glu Tyr Thr Ile His Trp Val Lys Gln Ser His Gly Lys Ser Leu Glu
 50 55 60

Trp Ile Gly Asn Ile Asn Pro Asn Asn Gly Gly Thr Thr Tyr Asn Gln
 65 70 75 80

Lys Phe Glu Asp Lys Ala Thr Leu Thr Val Asp Lys Ser Ser Ser Thr
 85 90 95

Ala Tyr Met Glu Leu Arg Ser Leu Thr Ser Glu Asp Ser Ala Val Tyr
 100 105 110

Tyr Cys Ala Ala Gly Trp Asn Phe Asp Tyr Trp Gly Gln Gly Thr Thr
 115 120 125

[0020]

Val Thr Val Ser Ser Gly Gly Gly Gly Ser Gly Gly Gly Gly Ser Gly
 130 135 140

Gly Gly Gly Ser Asp Ile Val Met Thr Gln Ser His Lys Phe Met Ser
 145 150 155 160

Thr Ser Val Gly Asp Arg Val Ser Ile Ile Cys Lys Ala Ser Gln Asp
 165 170 175

Val Gly Thr Ala Val Asp Trp Tyr Gln Gln Lys Pro Gly Gln Ser Pro
 180 185 190

Lys Leu Leu Ile Tyr Trp Ala Ser Thr Arg His Thr Gly Val Pro Asp
 195 200 205

Arg Phe Thr Gly Ser Gly Ser Gly Thr Asp Phe Thr Leu Thr Ile Thr
 210 215 220

Asn Val Gln Ser Glu Asp Leu Ala Asp Tyr Phe Cys Gln Gln Tyr Asn
 225 230 235 240

Ser Tyr Pro Leu Thr Phe Gly Ala Gly Thr Met Leu Asp Leu Lys Arg
 245 250 255

Ala Ala Ala Ile Glu Val Met Tyr Pro Pro Pro Tyr Leu Asp Asn Glu
 260 265 270

Lys Ser Asn Gly Thr Ile Ile His Val Lys Gly Lys His Leu Cys Pro
 275 280 285

Ser Pro Leu Phe Pro Gly Pro Ser Lys Pro Phe Trp Val Leu Val Val
 290 295 300

[0021]

Val Gly Gly Val Leu Ala Cys Tyr Ser Leu Leu Val Thr Val Ala Phe
 305 310 315 320

Ile Ile Phe Trp Val Arg Ser Lys Arg Ser Arg Leu Leu His Ser Asp
 325 330 335

Tyr Met Asn Met Thr Pro Arg Arg Pro Gly Pro Thr Arg Lys His Tyr
 340 345 350

Gln Pro Tyr Ala Pro Pro Arg Asp Phe Ala Ala Tyr Arg Ser Arg Phe
 355 360 365

Ser Val Val Lys Arg Gly Arg Lys Lys Leu Leu Tyr Ile Phe Lys Gln
 370 375 380

Pro Phe Met Arg Pro Val Gln Thr Thr Gln Glu Glu Asp Gly Cys Ser
 385 390 395 400

Cys Arg Phe Pro Glu Glu Glu Glu Gly Gly Cys Glu
 405 410

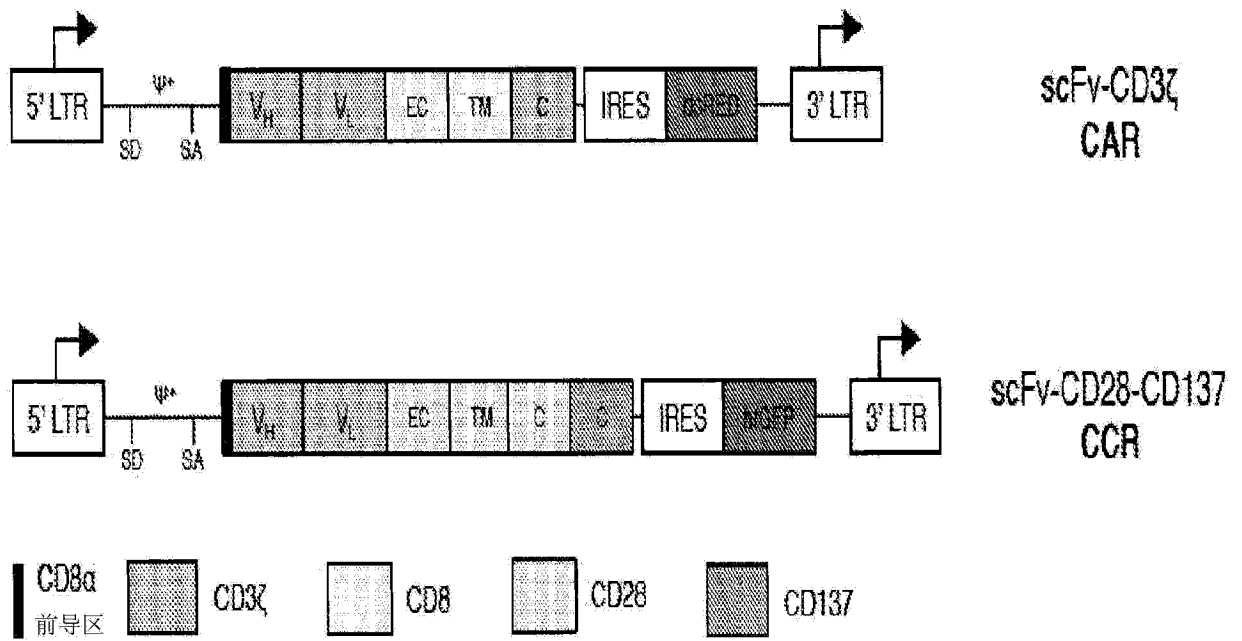


图 1A

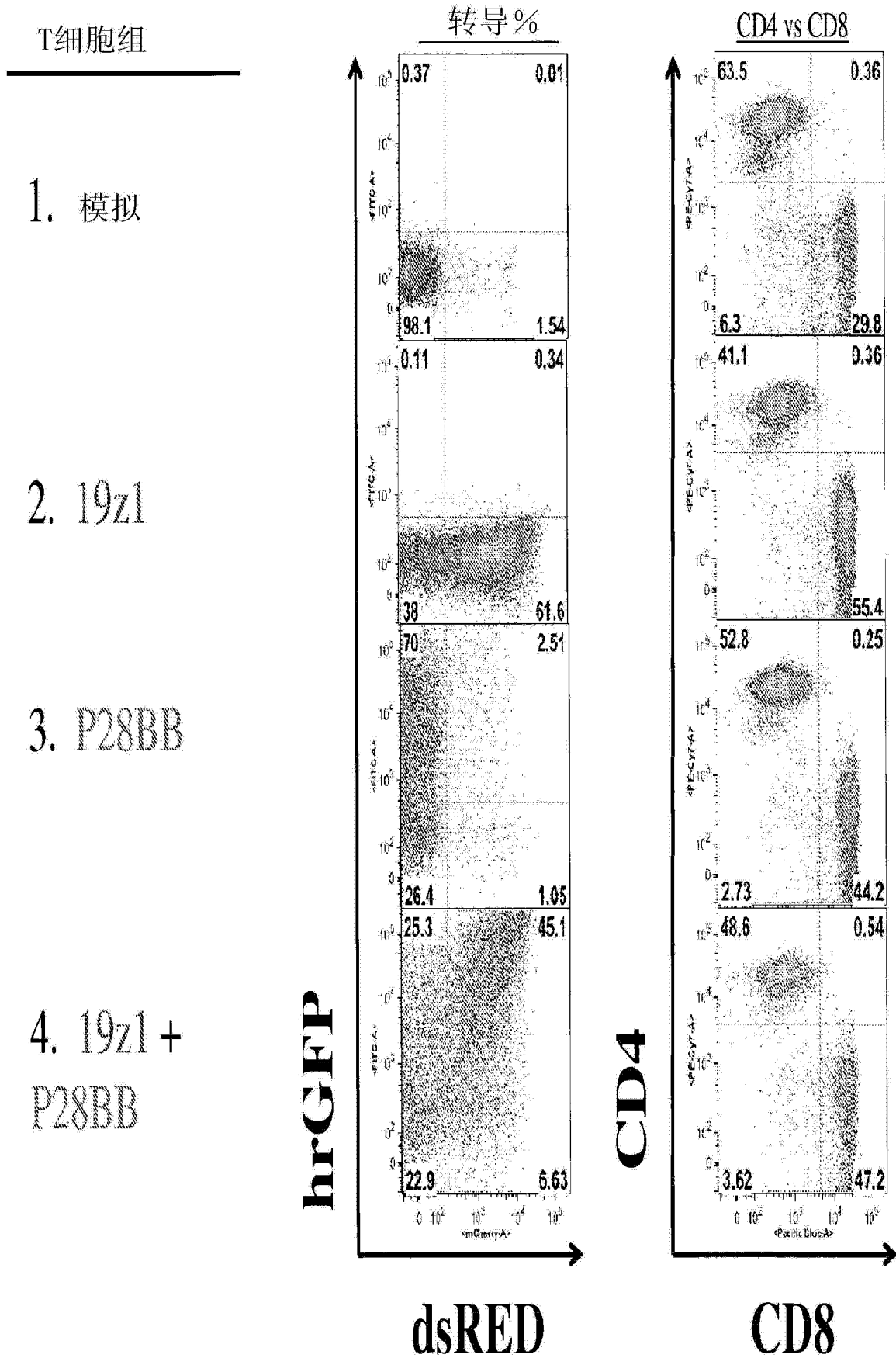


图 1B

用不同的多种CAR转导CTL

T细胞组	SFG逆转录病毒转导									
1. 模拟	N/A									
2. 19z1	<table border="1"> <tr> <td data-bbox="596 741 1070 819">α-CD19 - CD8-CD3zeta</td> <td data-bbox="1070 741 1225 819">IRES</td> <td data-bbox="1225 741 1410 819">dsRED</td> </tr> </table>	α -CD19 - CD8-CD3zeta	IRES	dsRED						
α -CD19 - CD8-CD3zeta	IRES	dsRED								
3. P28BB	<table border="1"> <tr> <td data-bbox="596 999 1070 1077">α-PSMA - CD28 - 4-1BB</td> <td data-bbox="1070 999 1225 1077">IRES</td> <td data-bbox="1225 999 1410 1077">hrGFP</td> </tr> </table>	α -PSMA - CD28 - 4-1BB	IRES	hrGFP						
α -PSMA - CD28 - 4-1BB	IRES	hrGFP								
4. 19z1 + P28BB	<table border="1"> <tr> <td data-bbox="596 1256 1070 1312">α-CD19 - CD8-CD3zeta</td> <td data-bbox="1070 1256 1225 1312">IRES</td> <td data-bbox="1225 1256 1410 1312">dsRED</td> </tr> <tr> <td colspan="3" data-bbox="1015 1323 1050 1379" style="text-align: center;">+</td> </tr> <tr> <td data-bbox="596 1391 1070 1469">α-PSMA - CD28 - 4-1BB</td> <td data-bbox="1070 1391 1225 1469">IRES</td> <td data-bbox="1225 1391 1410 1469">hrGFP</td> </tr> </table>	α -CD19 - CD8-CD3zeta	IRES	dsRED	+			α -PSMA - CD28 - 4-1BB	IRES	hrGFP
α -CD19 - CD8-CD3zeta	IRES	dsRED								
+										
α -PSMA - CD28 - 4-1BB	IRES	hrGFP								

图 1C

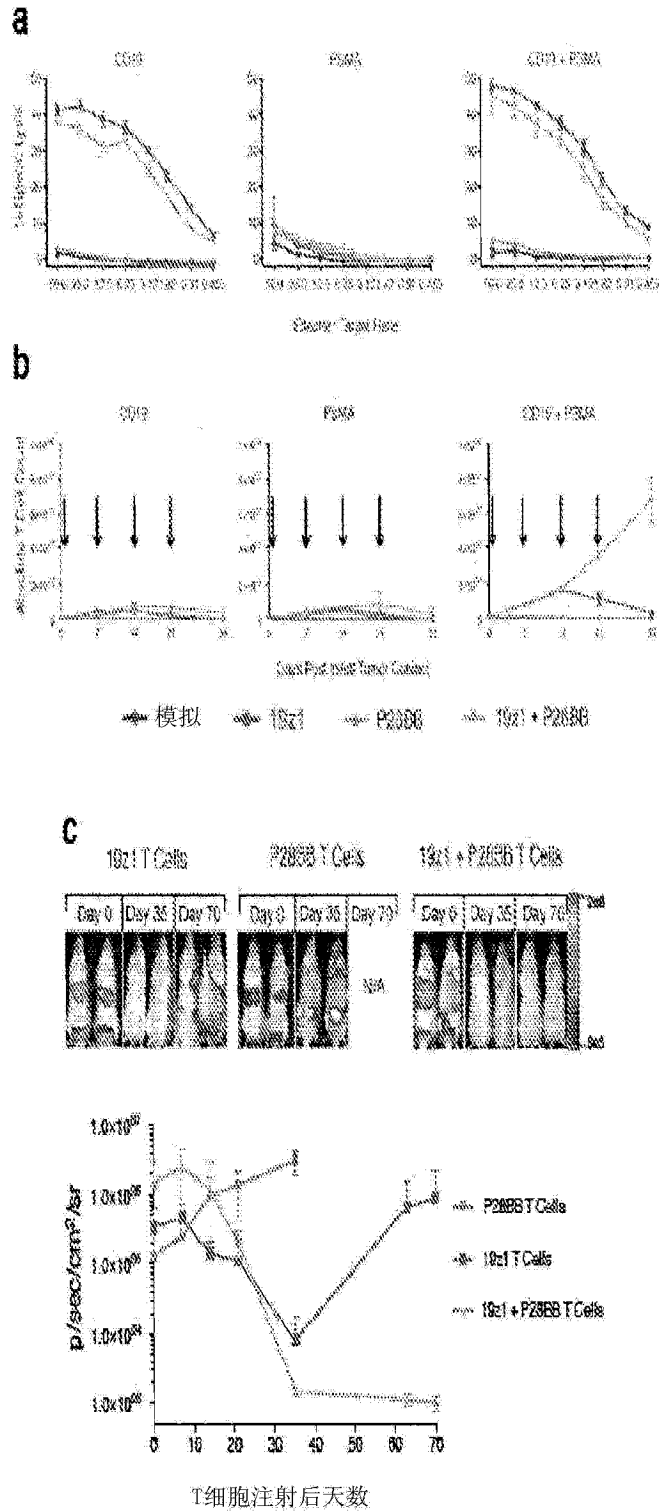


图 2

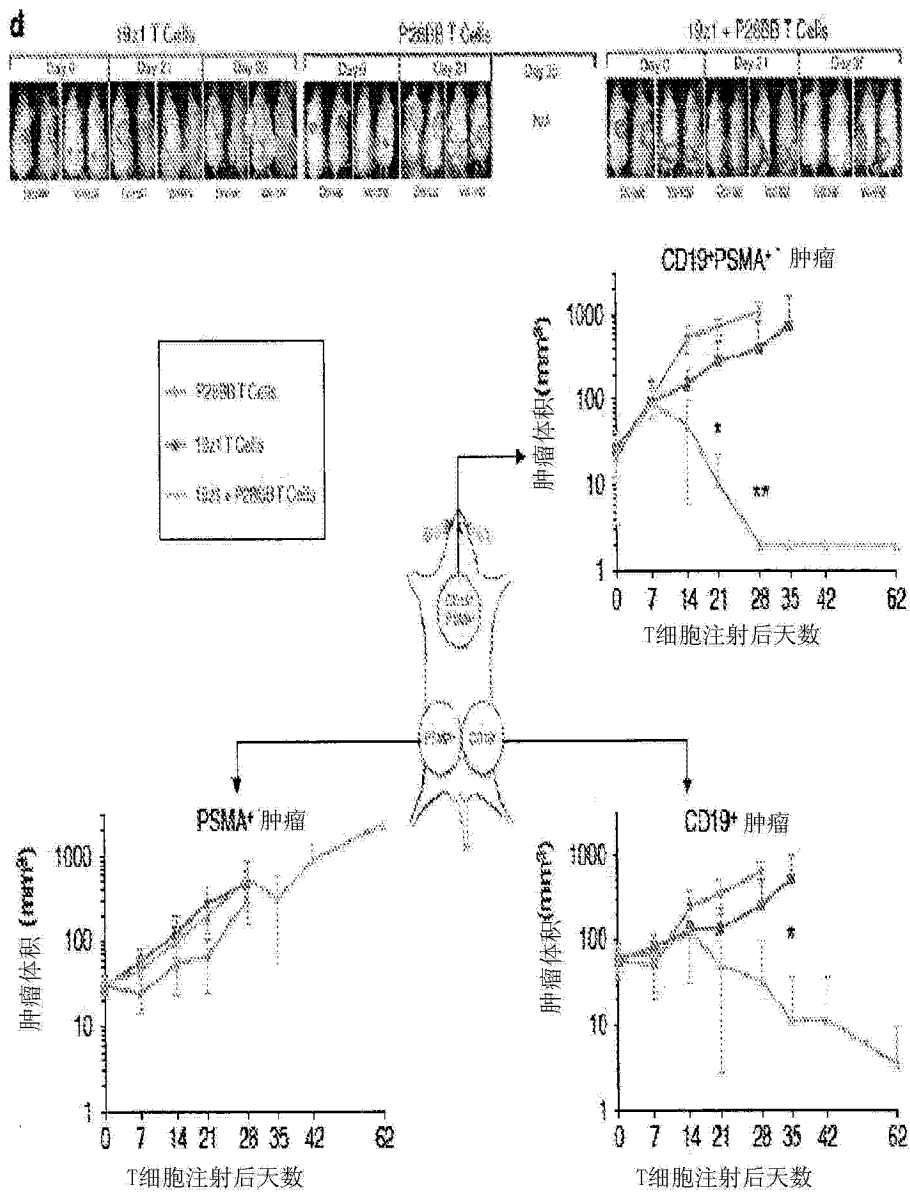


图 2(续)

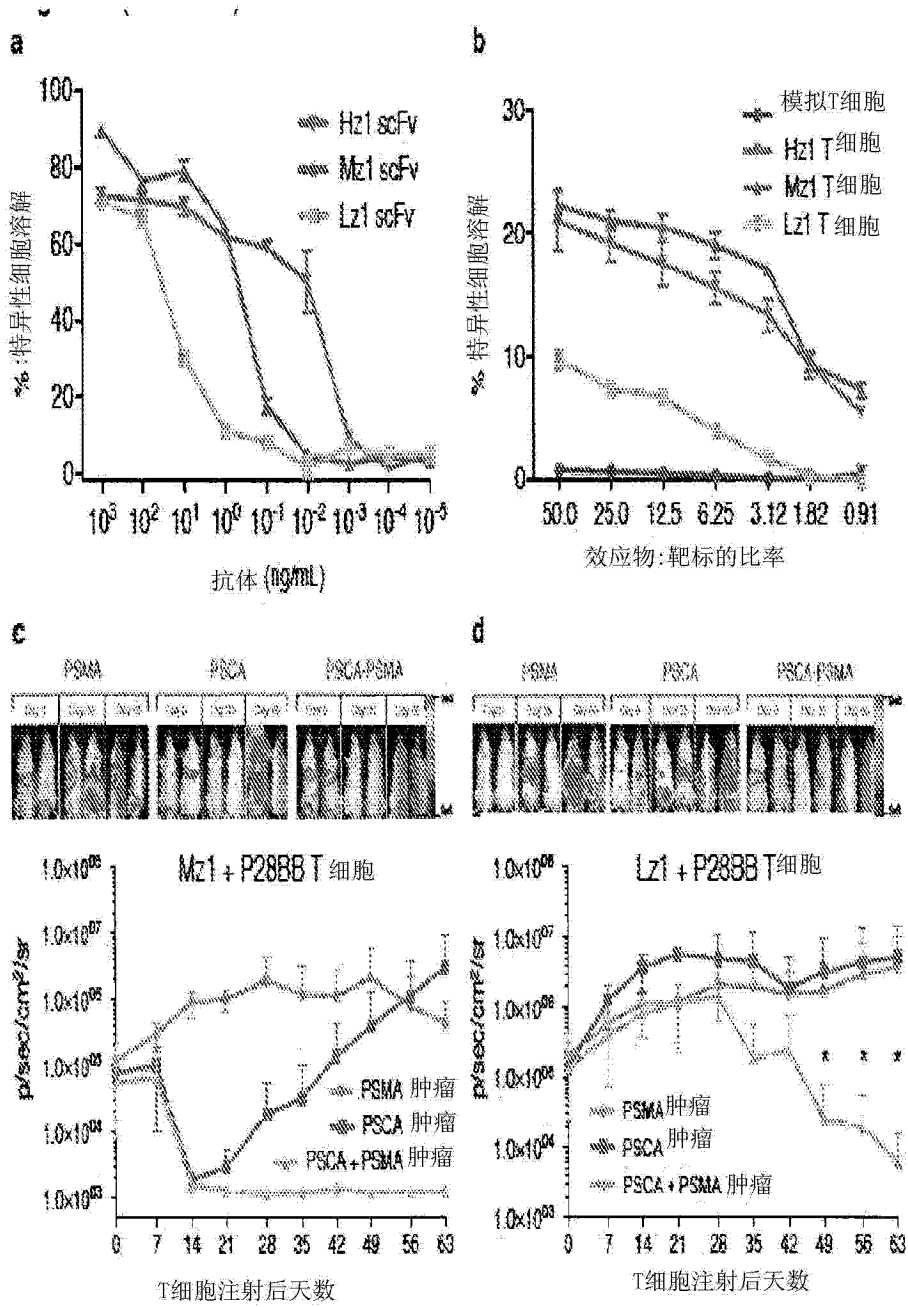


图 3

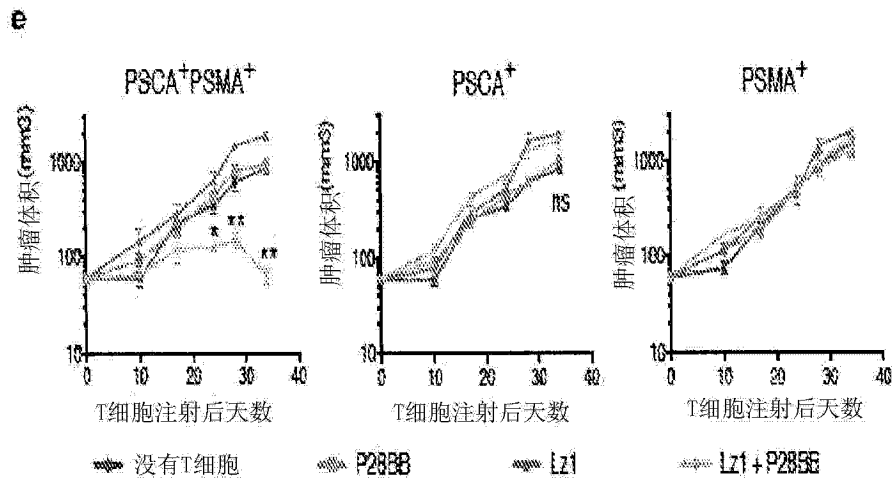


图3(续)

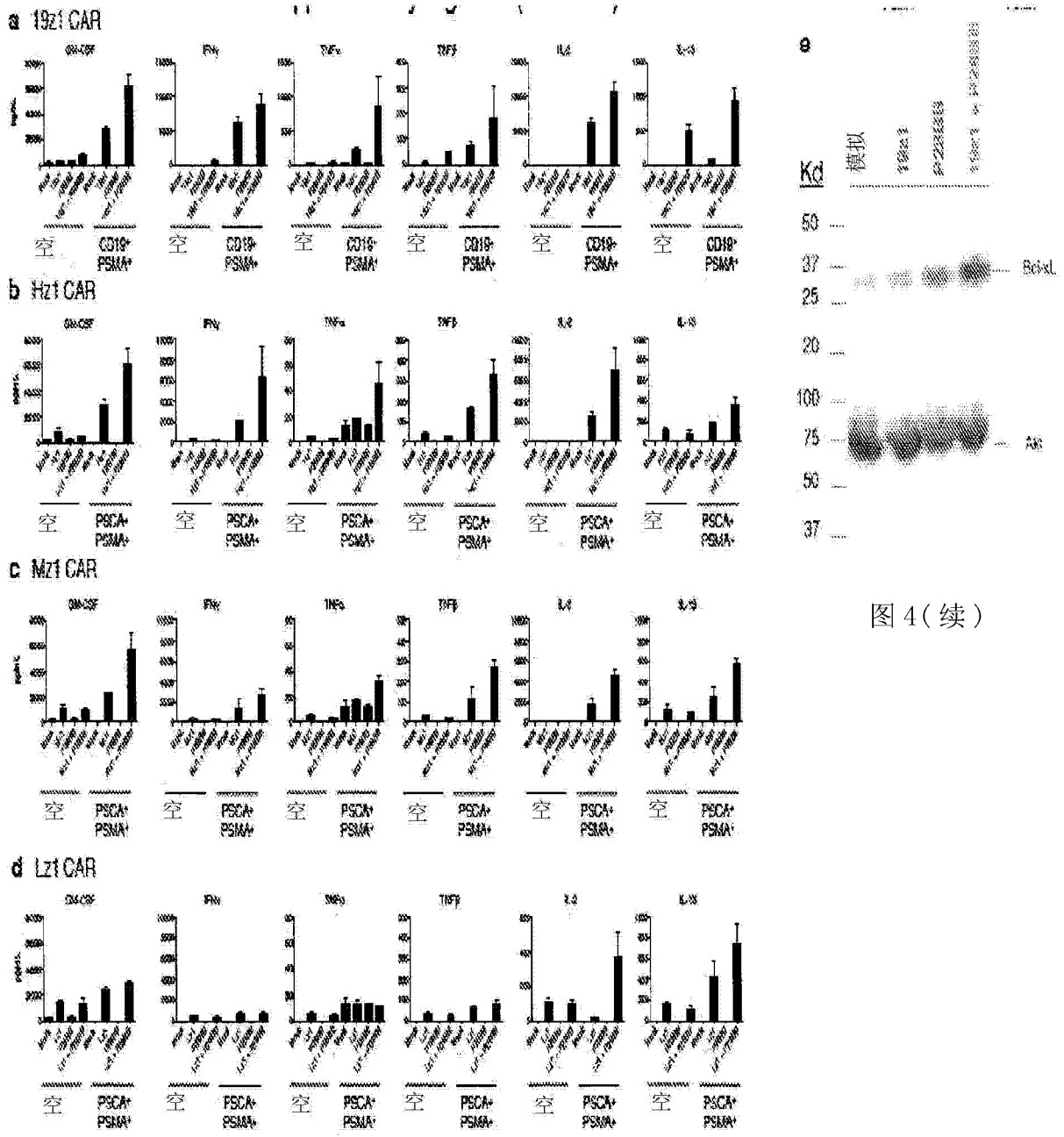


图 4(续)

图 4

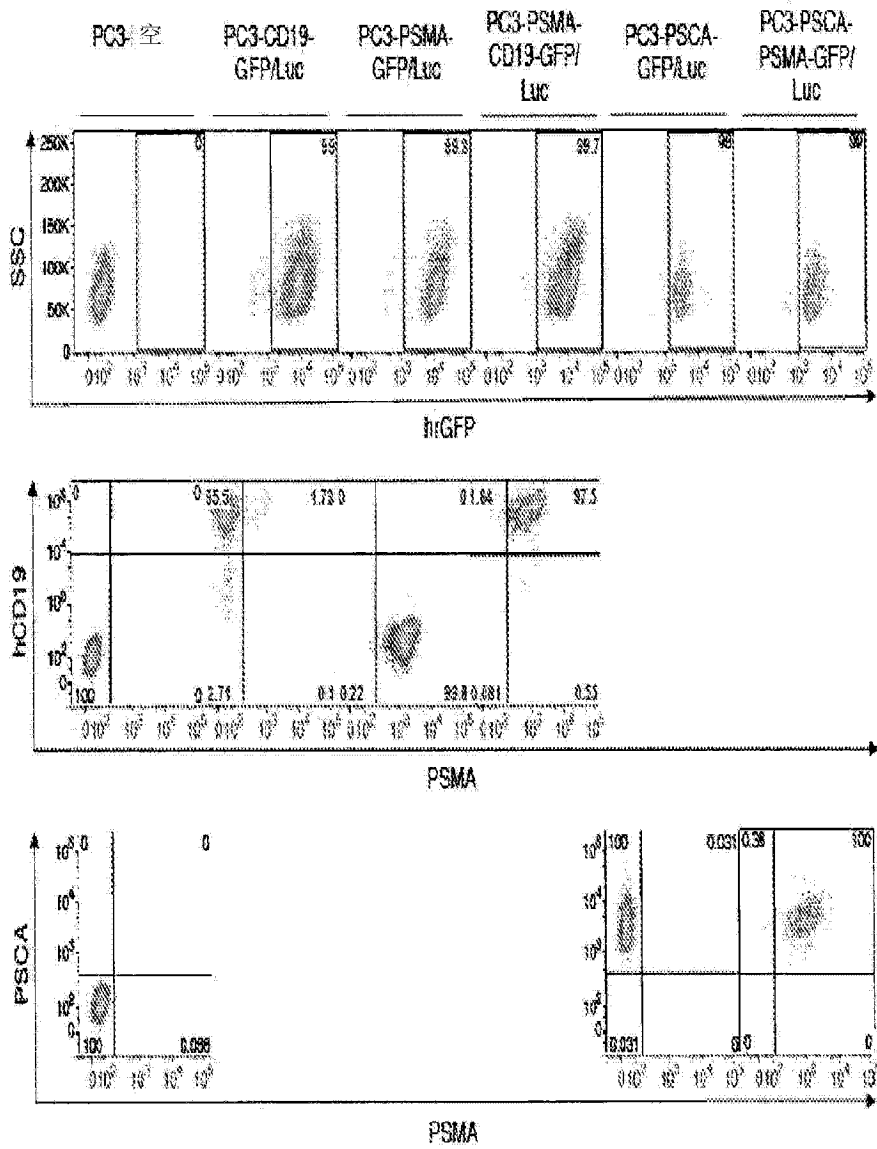


图 5

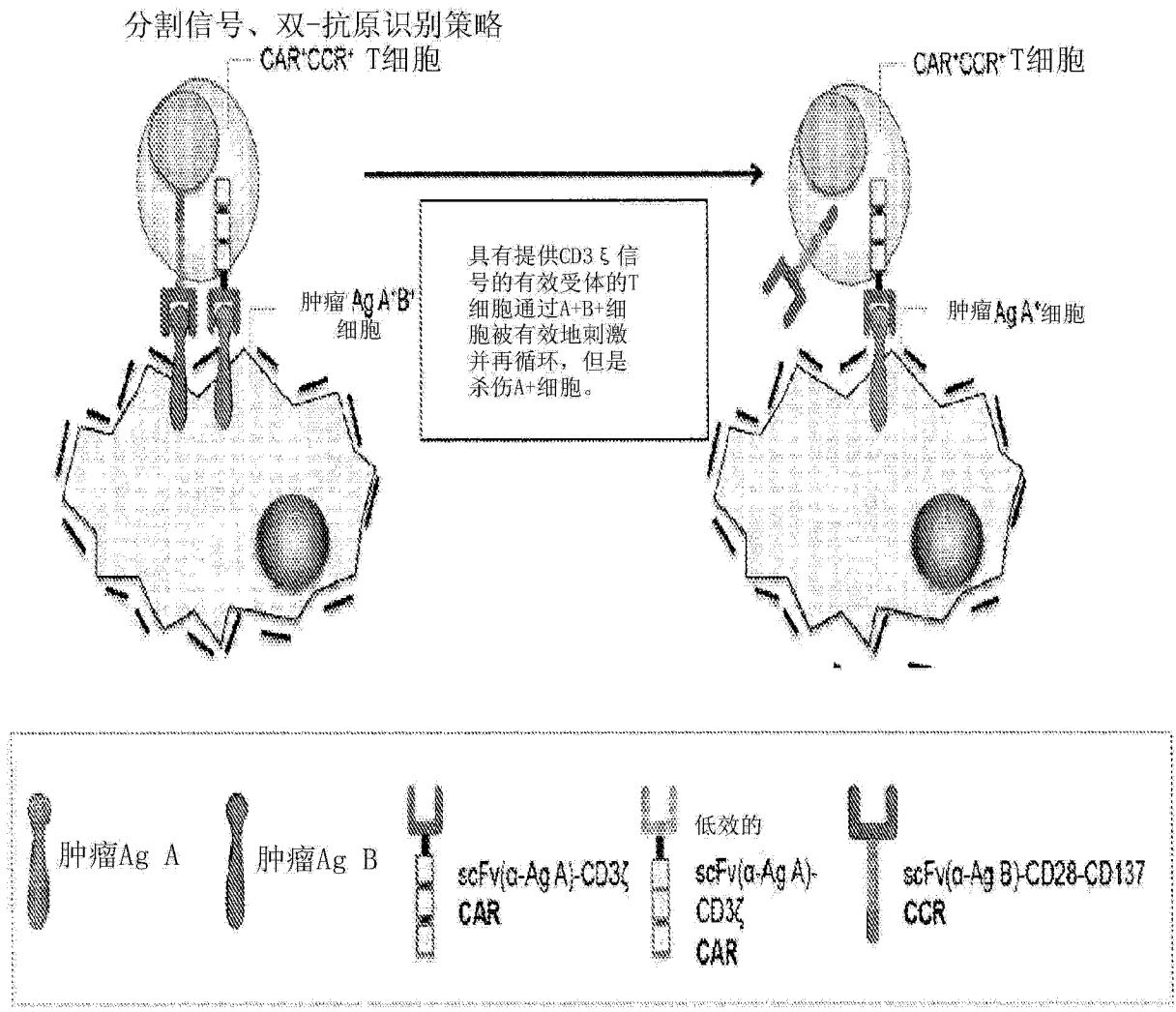


图 6A

b 肿瘤感应T细胞策略

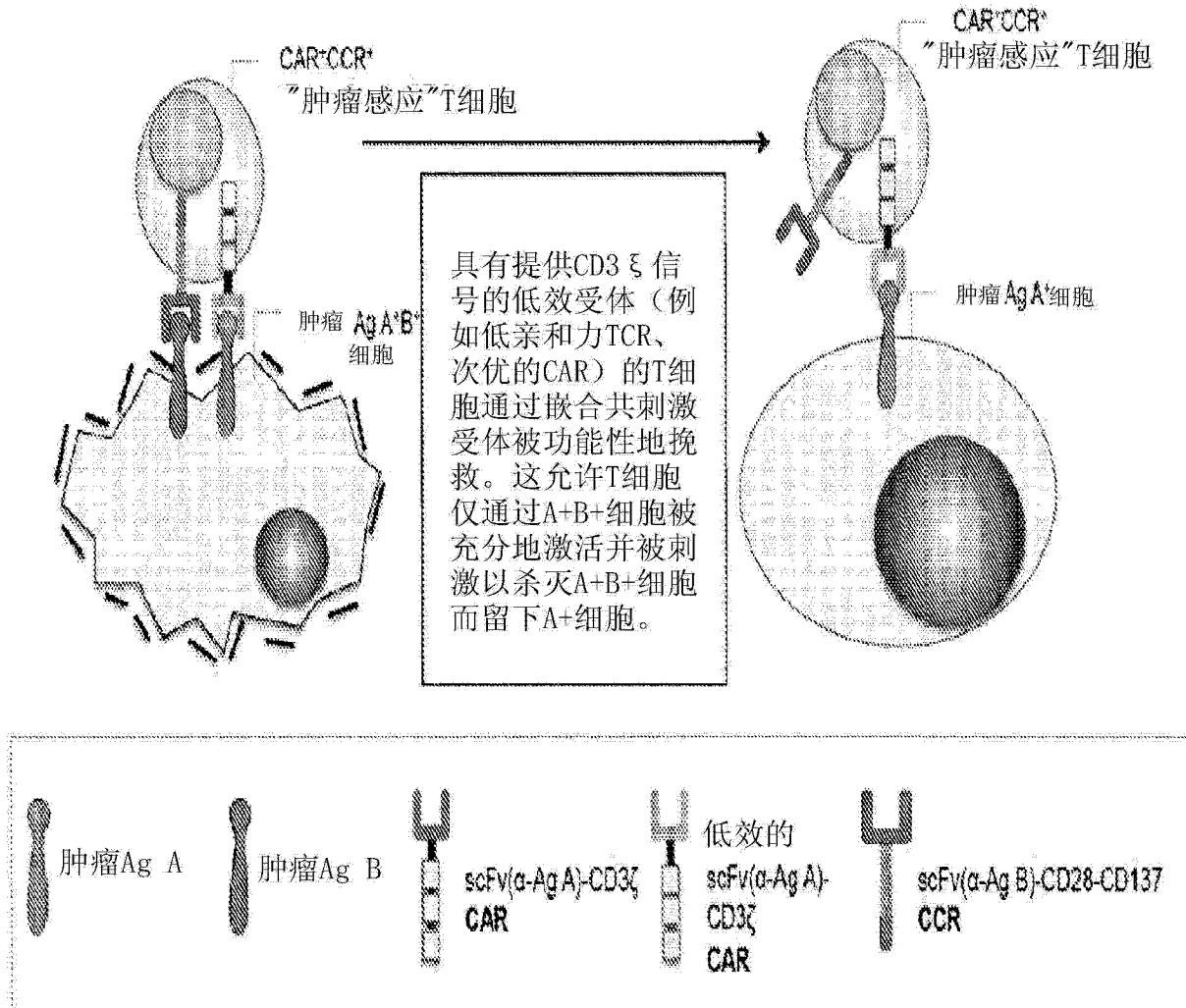


图 6B

双-CAR刺激和激活

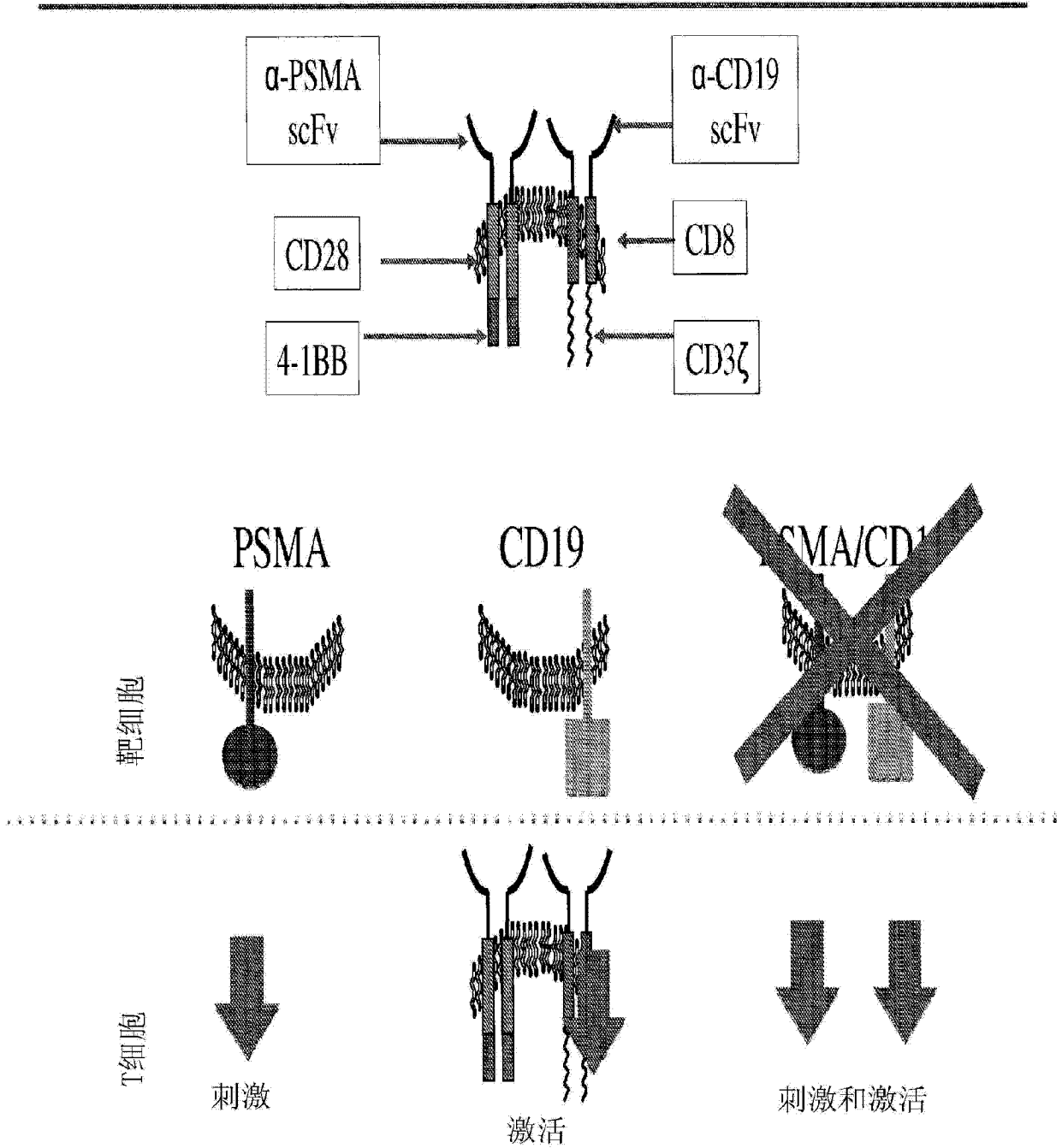


图 6C